

CONTROL DE LÍNEAS  
CON MOVIMIENTO  
INFINITESIMALMENTE HELICOIDAL  
DE PASO FIJO

POR MATEO ANARELLA

PRESENTADO ANTE LA  
FACULTAD DE MATEMÁTICA, ASTRONOMÍA Y FÍSICA  
COMO PARTE DE LOS REQUERIMIENTOS PARA LA OBTENCIÓN  
DEL GRADO DE LICENCIADO EN MATEMÁTICA DE LA

UNIVERSIDAD NACIONAL DE CÓRDOBA

MARZO 2020

©FAMAF-UNC 2020

DIRECTOR: MARCOS SALVAI

Esta obra está bajo una licencia [Creative Commons](https://creativecommons.org/licenses/by-nc-sa/4.0/)  
“Reconocimiento-NoCommercial-CompartirIgual 4.0 In-  
ternacional”.





## Resumen

Sea  $\mathcal{L}$  el espacio de líneas orientadas de  $\mathbb{R}^3$  o del espacio hiperbólico  $H^3$ . Se estudia la controlabilidad del sistema de control en  $\mathcal{L}$  dado por la condición de que una curva de líneas orientadas describa en cada instante, a nivel infinitesimal, un helicoide de paso prefijado. El sistema se describe con precisión como cierto subfibrado de  $T\mathcal{L}$  sobre  $\mathcal{L}$  (que no es topológicamente trivial) y resulta controlable salvo en el caso euclídeo con helicoide plano (paso infinito).

## Abstract

Let  $\mathcal{L}$  be the space of oriented lines of  $\mathbb{R}^3$  or hyperbolic space  $H^3$ . We study the controllability of the control system in  $\mathcal{L}$  given by the condition that a curve of oriented lines describes at each instant, at the infinitesimal level, a helicoid with prescribed pitch. The system is defined precisely as a certain subbundle of  $T\mathcal{L}$  over  $\mathcal{L}$  (which is not topologically trivial) and turns out to be controllable except in the Euclidean case with flat helicoid (infinite pitch).

**Mathematics Subject Classification (2010):** 34H05, 53A17, 53A35, 53C30, 57R27, 70Q05.

**Palabras claves:** Sistema de control - Espacio fibrado - Forma espacial - Espacio de geodésicas orientadas - Helicoide - Subvariedad sustancial.

**Keywords:** Control system - Bundle space - Space Form - Space of oriented geodesics - Helicoid - Substantial submanifold.



*A Bigote Cangorlo.*



## **Agradecimientos**

Antes de pasar a los resultados, quería recordar y hacer mención de todas las personas que me ayudaron a lo largo de mi carrera y colaboraron en este trabajo.

Primero que nada, quería agradecer a la Universidad Nacional de Córdoba, por darme el lugar para realizar mis estudios.

A Marcos Salvai, mi director, que siempre estuvo presente y con su infinita generosidad me explicó todas las dudas que me surgieron.

A Eduardo Hulett y Yamile Godoy, el jurado, por su paciencia al leer y corregir este trabajo.

Y por último, a mi familia y amigos, por darme el sustento emocional durante toda la carrera.



## Índice general

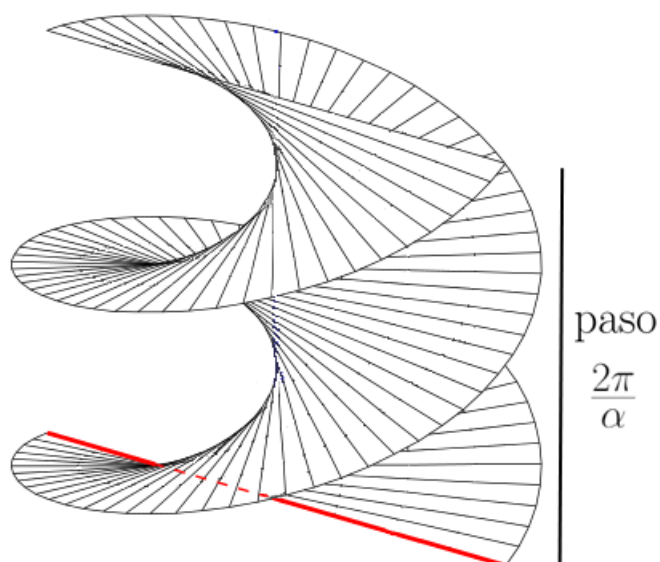
Capítulo 1. Introducción y presentación de los resultados	3
Capítulo 2. Preliminares	11
2.1. Variedades homogéneas	11
2.2. Las formas espaciales de dimensión tres	16
2.3. Espacio de geodésicas orientadas de $\mathbf{M}_\kappa$	19
Capítulo 3. El sistema de control helicoidal de paso fijo en $\mathcal{G}_\kappa$	27
Bibliografía	47



## Introducción y presentación de los resultados

Sea  $\alpha \in \mathbb{R}$ . El helicoides en  $\mathbb{R}^3$  de velocidad angular  $\alpha$  en posición estándar es la superficie parametrizada

$$\phi_o : \mathbb{R}^2 \rightarrow \mathbb{R}^3, \quad \phi_o(s, t) = s \cos(\alpha t) e_1 + s \sin(\alpha t) e_2 + t e_3.$$



Un helicoides en  $\mathbb{R}^3$  de velocidad angular  $\alpha$  es una superficie parametrizada congruente a  $\phi_o$  por una transformación rígida de  $\mathbb{R}^3$ , es decir una transformación que preserva la distancia y la orientación.

Un concepto relacionado con la velocidad angular de un helicoides es el de **paso**. Recordemos que el paso de un helicoides en  $\mathbb{R}^3$  es la altura de una vuelta completa, medida de manera paralela al eje. Así, el paso de un helicoides de velocidad angular  $\alpha \neq 0$  es igual a  $2\pi/\alpha$ . Por supuesto, el paso y la velocidad angular se determinan mutuamente. Si  $\alpha = 0$ , o sea si la superficie es un plano, decimos que tiene paso infinito.

El problema que nos interesa, enunciado de manera vaga, es el siguiente: Fijamos  $\alpha \in \mathbb{R}$ . Dadas dos rectas orientadas  $\ell_1$  y  $\ell_2$  en  $\mathbb{R}^3$ , ¿se puede mover  $\ell_1$  hasta llegar a  $\ell_2$  de tal manera que la superficie barrida, en cada instante, a nivel infinitesimal, se parezca a un helicoides de velocidad angular  $\alpha$ ?

El ámbito natural para plantear el problema de manera precisa es el de la teoría de control.

Sea  $N$  una variedad diferenciable. Asignar un subconjunto  $\mathcal{A}_q$  de  $T_qN$  a cada  $q \in N$ , con ciertas propiedades, determina un problema de control: Dados  $p, q \in N$ , ¿existe una curva  $\gamma$  en  $N$  que los une y tal que  $\gamma'(t) \in \mathcal{A}_{\gamma(t)}$  para todo  $t$ ? Un caso muy estudiado es cuando  $\mathcal{A}_q$  es un subespacio vectorial o un subespacio afín de  $T_qN$ .

Sea  $\mathcal{L}$  el espacio de las rectas orientadas de  $\mathbb{R}^3$ , que es una variedad diferenciable de dimensión cuatro donde el grupo de transformaciones rígidas de  $\mathbb{R}^3$  actúa transitivamente. El problema planteado al comienzo se traduce en definir cierto subfibrado  $\mathcal{A}$  del fibrado tangente  $T\mathcal{L}$ . Para mayor generalidad, lo estudiamos para una forma espacial de dimensión tres, o sea, además de  $\mathbb{R}^3$ , consideramos el espacio hiperbólico  $H^3$  y la esfera  $S^3$ , tomando líneas orientadas y círculos máximos orientados, respectivamente. Tratamos, en lo posible, los tres casos en simultáneo, pero la respuesta para el caso esférico no la encontramos aún y trabajaremos en ello en un futuro próximo.

Para  $\kappa = 1, 0, -1$ , sea  $M_\kappa$  la forma espacial de dimensión tres de curvatura gaussiana constante  $\kappa$ , es decir,

$$M_1 = S^3, \quad M_0 = \mathbb{R}^3 \quad \text{y} \quad M_{-1} \text{ el espacio hiperbólico } H^3.$$

Denotaremos por  $\gamma_v$  a la geodésica en  $M_\kappa$  con velocidad inicial  $v$ .

Sea  $\mathcal{G}_\kappa$  el espacio de geodésicas orientadas de  $M_\kappa$  salvo parametrizaciones, o sea,

$$\mathcal{G}_\kappa = \{[\sigma] \mid \sigma : \mathbb{R} \rightarrow M_\kappa \text{ es una geodésica de rapidez unitaria en } M_\kappa\},$$

donde  $\sigma_1 \sim \sigma_2$  si  $\sigma_1(t) = \sigma_2(t + t_0)$  para todo  $t$  y para algún  $t_0 \in \mathbb{R}$ .

El grupo de isometrías de  $M_\kappa$  actúa transitivamente en  $\mathcal{G}_\kappa$  y esto induce una estructura diferenciable en  $\mathcal{G}_\kappa$  de dimensión cuatro, que lo hace difeomorfo a  $TS^2$  para  $\kappa = 0, -1$ , y a  $S^2 \times S^2$  para  $\kappa = 1$ .

Presentamos ahora la definición de sistema de control, que tomamos de la subsección 2.6 en [9], inspirada en [1] y [2] (subsección 2.1).

Esta definición, que se adecua mejor a nuestro problema, es más general que la más usual (que requiere que  $\mathcal{A}$  sea un subfibrado vectorial o vectorial afín, y muchas veces está planteado localmente en  $\mathbb{R}^n$ , sin involucrar cuestiones globales).

**DEFINICIÓN 1.** *Un **sistema de control** en una variedad diferenciable  $N$  es un subfibrado  $(\mathcal{A}, \iota)$  del fibrado tangente  $TN$ ,*

$$\begin{array}{ccc} \mathcal{A} & \xrightarrow{\iota} & TN \\ & \searrow & \downarrow \pi \\ & & N. \end{array}$$

Una curva suave  $\gamma : (a, b) \rightarrow N$  se dice **admisibile** si para todo  $t \in (a, b)$  se cumple que  $\gamma'(t) \in \iota(\mathcal{A})$ . Un sistema de control en  $N$  se dice **controlable** si para cada par de puntos en  $N$  existe una curva admisible a trozos que los une.

Antes de presentar el sistema de control que nos interesa, necesitamos las siguientes definiciones.

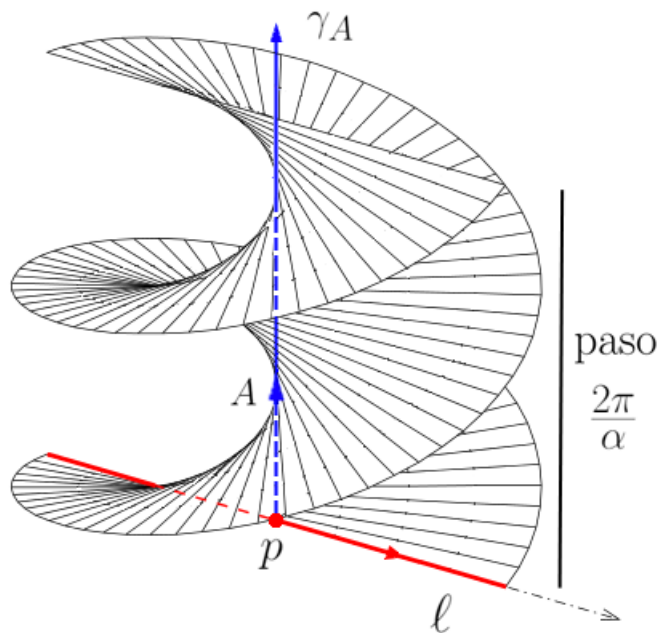
**DEFINICIÓN 2.** *Fijamos  $\alpha \in \mathbb{R}$ . Dados  $\ell \in \mathcal{G}_\kappa$ ,  $p \in \ell$  y  $A \in T_p M_\kappa$  unitario ortogonal a  $\ell$ , la **superficie parametrizada  $\alpha$ -helicoidal con rayo inicial  $\ell$  y eje  $\gamma_A$** ,*

$$\phi_{\ell, p, A}^\alpha : \mathbb{R}^2 \rightarrow M_\kappa,$$

se define como sigue: Supongamos que  $\ell = [\sigma]$  con  $\sigma(0) = p$  y sea  $B = A \times \sigma'(0)$ . Entonces

$$\phi_{\ell, p, A}^\alpha(s, t) = \gamma_{\cos(\alpha t)V_t + \sin(\alpha t)B_t}(s)$$

donde  $t \mapsto V_t$  y  $t \mapsto B_t$  son los traslados paralelos a lo largo de  $\gamma_A$  de  $\sigma'(0)$  y  $B$ , respectivamente.



En otras palabras, el eje sale perpendicularmente a  $\ell$  desde  $p \in \ell$  con velocidad inicial  $A$ , y los rayos rotan con velocidad angular constante  $\alpha$  a medida que avanzan sobre el eje con rapidez unitaria.

DEFINICIÓN 3. Fijamos  $\alpha \in \mathbb{R}$ . Dados  $\ell, p, A$  como arriba, definimos la **curva  $\alpha$ -helicoidal con rayo inicial  $\ell$  y eje  $\gamma_A$**  mediante

$$\Gamma_{\ell,p,A}^{\alpha} : \mathbb{R} \rightarrow \mathcal{G}_{\kappa}, \quad \Gamma_{\ell,p,A}^{\alpha}(t) = [s \mapsto \phi_{\ell,p,A}^{\alpha}(s, t)].$$

DEFINICIÓN 4. Para  $\kappa = 0, 1, -1$  y  $\alpha \in \mathbb{R}$  sea  $\mathcal{A}_{\kappa}^{\alpha}$  el subconjunto de  $T\mathcal{G}_{\kappa}$  dado por

$$\mathcal{A}_{\kappa}^{\alpha} = \{\text{velocidades iniciales de curvas } \alpha\text{-helicoidales en } \mathcal{G}_{\kappa}\}.$$

Ahora podemos definir el sistema de control  $\alpha$ -helicoidal en  $\mathcal{G}_{\kappa}$ .

PROPOSICIÓN 5. La proyección canónica  $\mathcal{A}_{\kappa}^{\alpha} \rightarrow \mathcal{G}_{\kappa}$  es un fibrado. Más aún, la inclusión  $\iota_{\kappa}^{\alpha} : \mathcal{A}_{\kappa}^{\alpha} \rightarrow T\mathcal{G}_{\kappa}$  es un subfibrado y esto da el sistema de control

$$\begin{array}{ccc} \mathcal{A}_{\kappa}^{\alpha} & \xrightarrow{\iota_{\kappa}^{\alpha}} & T\mathcal{G}_{\kappa} \\ & \searrow & \downarrow \pi \\ & & \mathcal{G}_{\kappa}. \end{array}$$

A continuación describimos las fibras típicas del fibrado  $\mathcal{A}_\kappa^\alpha \rightarrow \mathcal{G}_\kappa$  para los distintos valores de  $\kappa = 0, -1$  y de  $\alpha$  genérico.

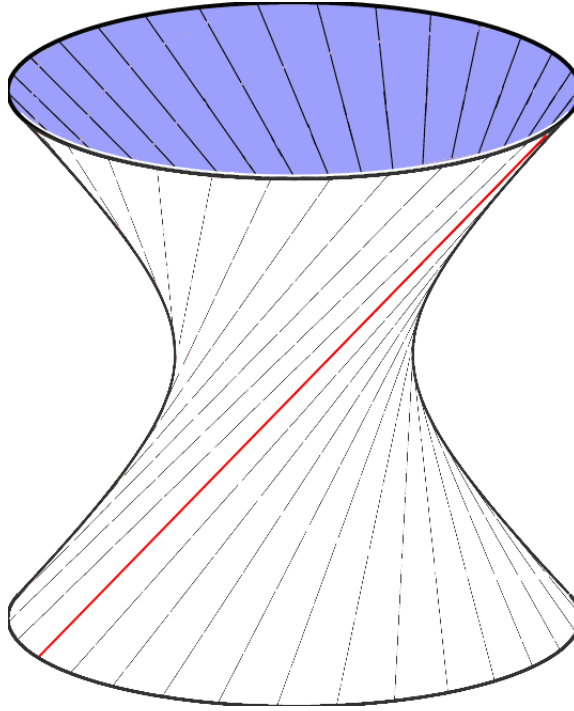
PROPOSICIÓN 6. *Sea  $\kappa = -1, 0$  y supongamos que  $\alpha^2 \neq \kappa$ . La fibra típica del fibrado  $\mathcal{A}_\kappa^\alpha$  es homeomorfa al cilindro  $\mathbb{R} \times S^1$ .*

La siguiente proposición refuerza la idea de que el problema que estudiamos es de índole global y da cuenta de la necesidad de trabajar en un contexto invariante.

PROPOSICIÓN 7. *Sea  $\kappa = -1, 0$  y supongamos que  $\alpha^2 \neq \kappa$ , entonces el fibrado  $\mathcal{A}_\kappa^\alpha$  sobre  $\mathcal{G}_\kappa$  no es topológicamente trivial, es decir, la variedad  $\mathcal{A}_\kappa^\alpha$  no es homeomorfa a  $\mathcal{G}_\kappa \times \mathcal{F}_\kappa^\alpha$ , donde  $\mathcal{F}_\kappa^\alpha$  es la fibra típica de  $\mathcal{A}_\kappa^\alpha \rightarrow \mathcal{G}_\kappa$ .*

EJEMPLO 8. a) *Las curvas  $\Gamma_{\ell,p,A}^\alpha$ , es decir las curvas puramente  $\alpha$ -helicoidales, son claramente admisibles.*

b) *En  $\mathbb{R}^3$ , la curva de rectas que barre un hiperboloide de una sola hoja es admisible para el sistema  $\iota_0^\alpha$  (con parámetros apropiados). Esto también vale para superficies análogas en  $H^3$  y  $S^3$ .*



Ahora estamos en condiciones de enunciar nuestro resultado principal.

TEOREMA 9. *Sea  $\alpha \in \mathbb{R}$ . Para  $\kappa = -1, 0$ , las siguientes afirmaciones son equivalentes:*

- a) *El sistema de control  $(\mathcal{A}_\kappa^\alpha, \iota_\kappa^\alpha)$  es controlable.*
- b) *Se cumple que  $\alpha^2 \neq \kappa$ .*
- c) *Para cada  $\ell \in \mathcal{G}_\kappa$ , la fibra típica de  $\mathcal{A}_\kappa^\alpha$  sobre  $\ell$  es una subvariedad sustancial de  $T_\ell \mathcal{G}_\kappa$ .*
- d) *La fibra típica de  $\mathcal{A}_\kappa^\alpha$  tiene dimensión dos.*

*Más precisamente: Si  $\kappa = -1$ , el sistema es controlable para todo  $\alpha$ . Para el caso  $\kappa = 0$ , el sistema es controlable si  $\alpha \neq 0$ , y si  $\alpha = 0$ , una curva admisible de rectas orientadas consiste de rectas paralelas.*

(Una subvariedad de un espacio vectorial se dice sustancial si no está contenida en ningún subespacio afín.)

OBSERVACIÓN 10. *El teorema posiblemente sea válido para  $\kappa = 1$  (por ello elegimos esa presentación del apartado (b)). En este caso, si  $\alpha = \pm 1$ , una curva admisible en  $\mathcal{G}_1$  probablemente consista de círculos máximos en una fibración de Hopf. Esperamos trabajar en esto en el futuro cercano.*

En esta primera etapa exploratoria, probaremos la controlabilidad del sistema exhibiendo curvas admisibles explícitas que unen dos líneas dadas. Más adelante intentaremos recurrir a herramientas más fuertes, como el Teorema de la Órbita de Sussmann (ver [16]).

En el último capítulo se demuestran las proposiciones y los teoremas de la introducción. Adelantamos algunos ingredientes.

- En general usamos el modelo del hiperboloide de  $H^3$ , y a veces los modelos de la bola de Poincaré y del semiespacio superior.

- Aprovechamos la invariancia del problema, recurriendo extensivamente a variedades presentadas como cocientes de grupos de Lie.

- El caso de mayor dificultad es el de hallar una curva admisible a trozos que una dos rectas orientadas que se intersecan.

- Las variaciones infinitesimales de geodésicas parametrizadas partiendo de una geodésica  $\sigma$  se describen mediante campos de Jacobi a lo largo de  $\sigma$ ; estos representan vectores en  $T_{[\sigma]}\mathcal{G}_\kappa$ . Nuestra ecuación relevante es

$$\frac{DJ}{ds}(0) = \alpha J(0) \times \sigma'(0), \quad \|J(0)\| = 1.$$

Para finalizar la introducción comentamos un problema relacionado. Sea  $N$  una variedad diferenciable. Dada una familia  $\mathcal{F}$  de curvas distinguidas, se puede plantear una variación del así llamado *problema de Oxford* (también llamado *problema de Kendall*): Encontrar la cantidad mínima de trozos en  $\mathcal{F}$  de curvas continuas que llevan un punto inicial a un punto final de  $M$ , ambos arbitrarios. El problema original fue propuesto en [10] para el caso de una esfera rodando sobre el plano sin deslizamiento ni giro sobre el punto de contacto y la familia  $\mathcal{F}$  consiste en rodar a lo largo de rectas (ver también [12]). El análogo en nuestro contexto es tomar  $N = \mathcal{G}_\kappa$  y  $\mathcal{F}$  el conjunto de curvas  $\alpha$ -helicoidales puras.



## Preliminares

### 2.1. Variedades homogéneas

La referencia general para esta sección es el libro [17].

Un **grupo de Lie**  $G$  es una variedad diferenciable que posee una estructura de grupo tal que las funciones  $(g, h) \mapsto gh$  y  $g \mapsto g^{-1}$  son ambas diferenciables. Para  $g \in G$ , denotamos por  $L_g, R_g : G \rightarrow G$  las multiplicaciones por  $g$  a izquierda y a derecha, respectivamente, es decir,  $L_g(k) = gk$  y  $R_g(k) = kg$ . Ambas resultan aplicaciones suaves.

El **álgebra de Lie**  $\mathfrak{g}$  de  $G$  se define como el espacio tangente de  $G$  en la identidad  $e$ , es decir,  $\mathfrak{g} = T_e G$ .

La aplicación **exponencial**  $\exp : \mathfrak{g} \rightarrow G$  se define mediante  $\exp(X) = \gamma(1)$ , donde  $\gamma : \mathbb{R} \rightarrow G$  es el único morfismo de grupos tal que  $\gamma'(0) = X$ . Se cumple que la curva  $t \mapsto \exp(tX)$  es el único morfismo suave de  $\mathbb{R}$  en  $G$  con velocidad inicial  $X$ , luego  $\gamma(t) = \exp(tX)$ .

Sea  $N$  un conjunto y sea  $G$  un grupo. Una **acción** de  $G$  en  $N$  es una aplicación  $G \times N \rightarrow N$ , denotada por  $(g, p) \mapsto g \cdot p$ , tal que

$$e \cdot p = p \quad \text{y} \quad (gh) \cdot p = g \cdot (h \cdot p)$$

para todo  $p \in N$  y todo  $g, h \in G$ . El subgrupo de **isotropía** de  $G$  en un elemento  $p \in N$  es el subgrupo  $G_p = \{g \in G : gp = p\}$ .

Si  $\cdot$  es una acción del grupo  $G$  en  $N$ , cada elemento  $g \in G$  induce una biyección  $q \mapsto g \cdot q$  de  $N$ . En adelante, por abuso de notación, a veces identificaremos esta biyección con el elemento  $g$ .

Si  $K$  es un subgrupo de  $G$ , se define el **cociente**  $G/K$  como el conjunto de coclases, es decir,  $G/K = \{gK : g \in G\}$ . La **traslación a izquierda** en  $G/K$  está bien definida por  $\tilde{L}_g : G/K \rightarrow G/K$ ,  $\tilde{L}_g(hK) = ghK$ .

Una acción se dice **transitiva** si para todo par de puntos  $p_1, p_2 \in N$  existe  $g \in G$  tal que  $g \cdot p_1 = p_2$ . Si este es el caso, la aplicación

$$(2.1.1) \quad F_p : G/G_p \longrightarrow N, \quad F_p(gG_p) = g \cdot p,$$

resulta biyectiva.

**TEOREMA 11.** *Sea  $K$  un subgrupo cerrado de un grupo de Lie  $G$ . Entonces  $G/K$  admite una única estructura diferenciable tal que la proyección canónica  $G \longrightarrow G/K$  es una submersión suave. Además,  $\dim(G/K) = \dim G - \dim K$  y para todo  $g \in G$ , la traslación a izquierda  $\tilde{L}_g$  es suave.*

Supongamos que  $G$  actúa transitivamente en  $N$ . Si  $p, q \in N$ , los grupos de isotropía resultan conjugados, es decir, existe  $k \in G$  tal que  $G_p = kG_qk^{-1}$ . Si además  $G_p$  es cerrado, por el teorema anterior,  $G/G_p$  resulta una variedad. Entonces la biyección (2.1.1) nos permite copiar la estructura diferenciable a  $N$ , de manera independiente de  $p$ . Cuando esto sucede,  $N$  se dice una **variedad homogénea**.

**PROPOSICIÓN 12.** *Sea  $*$  :  $G \times N \rightarrow N$  una acción suave y transitiva de un grupo de Lie  $G$  en una variedad diferenciable  $N$  y sea  $p \in N$ . Entonces el subgrupo de isotropía  $G_p$  es cerrado en  $G$  y la aplicación (2.1.1) es un difeomorfismo.*

**PROPOSICIÓN 13.** *Sea  $K$  un subgrupo cerrado de un grupo de Lie  $G$  y sea  $\varpi : G \longrightarrow G/K$  la proyección canónica. Si  $\mathfrak{k}$  y  $\mathfrak{g}$  son las álgebras de Lie de  $K$  y  $G$ , respectivamente, y  $\mathfrak{p}$  es un subespacio de  $\mathfrak{g}$  complementario a  $\mathfrak{k}$ , o sea  $\mathfrak{g} = \mathfrak{k} \oplus \mathfrak{p}$ , entonces  $d\varpi_e|_{\mathfrak{p}} : \mathfrak{p} \longrightarrow T_K G/K$  es un isomorfismo.*

**DEMOSTRACIÓN.** Recordemos que si una transformación lineal  $T : U \rightarrow W$  es suryectiva y  $V$  es un complemento de  $\ker(T)$ , entonces  $T|_V : V \rightarrow W$  es un isomorfismo.

Veamos que  $\mathfrak{k} = \ker(d\varpi_e)$ , probando la doble contención. Sea  $X \in \mathfrak{k}$ , luego  $X = \left. \frac{d}{dt} \right|_0 \exp(tX)$ . Se sigue que

$$d\varpi_e(X) = \left. \frac{d}{dt} \right|_0 \varpi(\exp(tX)) = \left. \frac{d}{dt} \right|_0 \exp(tX) K = 0,$$

pues  $\exp(tX) \in K$  para todo  $t$ . Así,  $\mathfrak{k} \subset \ker(d\varpi_e)$ .

Por otro lado, sabemos que

$$\dim T_K(G/K) = \dim G/K = \dim G - \dim K = \dim \mathfrak{g} - \dim \mathfrak{k} = \dim \mathfrak{p}.$$

Supongamos que  $\mathfrak{k}$  está estrictamente contenido en el núcleo de  $d\varpi_e$ , o sea,  $\ker(d\varpi_e) = \mathfrak{k} \oplus \mathfrak{p}_1$ , donde  $\mathfrak{p} = \mathfrak{p}_1 \oplus \mathfrak{p}_2$ . Luego, como ya mencionamos

$$d\varpi_e|_{\mathfrak{p}_2} : \mathfrak{p}_2 \rightarrow T_K(G/K)$$

es un isomorfismo, pero  $\dim \mathfrak{p}_2 < \dim \mathfrak{p} = \dim T_K(G/K)$ , lo cual es absurdo.  $\square$

Este resultado es de suma utilidad ya que nos permite analizar elementos del espacio tangente a una variedad homogénea a través de sus respectivas identificaciones en el espacio vectorial  $\mathfrak{p}$ . Asimismo, podemos realizar ciertos endomorfismos de  $T_p N$  como endomorfismos de  $\mathfrak{p}$ , lo que posibilita un enfoque más algebraico.

Sea  $G$  un grupo de Lie con álgebra de Lie  $\mathfrak{g}$  y sea  $g \in G$ . Se define el operador  $\text{Ad}(g) : \mathfrak{g} \rightarrow \mathfrak{g}$  por

$$\text{Ad}(g) = d(L_g R_{g^{-1}})_e = d(R_{g^{-1}} L_g)_e.$$

PROPOSICIÓN 14. Sean  $G, K, \mathfrak{g}, \mathfrak{k}$  como en la Proposición 13, sea  $\mathfrak{p}$  un complemento  $\text{Ad}(k)$ -invariante de  $\mathfrak{k}$  para todo  $k \in K$ . Entonces, bajo las hipótesis y la notación de la Proposición 12, con  $G_p = K$  y  $F_p = F$ , el siguiente diagrama conmuta:

$$(2.1.2) \quad \begin{array}{ccc} \mathfrak{p} & \xrightarrow{\text{Ad}(k)} & \mathfrak{p} \\ \downarrow d\varpi_e|_{\mathfrak{p}} & & \downarrow d\varpi_e|_{\mathfrak{p}} \\ T_K(G/K) & & T_K(G/K) \\ \downarrow (dF)_K & & \downarrow (dF)_K \\ T_p N & \xrightarrow{dk_p} & T_p N, \end{array}$$

es decir, para todo  $X \in \mathfrak{p}$  se cumple que  $dk_p dF_K d\varpi_e(X) = dF_K d\varpi_e(\text{Ad}(k)(X))$ .

DEMOSTRACIÓN. Sea  $X \in \mathfrak{p}$ . Podemos escribir  $X = \left. \frac{d}{dt} \right|_0 \exp(tX)$ . Por la regla de la cadena tenemos que

$$(2.1.3) \quad dk_p dF_K d\varpi_e(X) = \left. \frac{d}{dt} \right|_0 (k \circ F \circ \varpi)(\exp(tX)) = \left. \frac{d}{dt} \right|_0 k \exp(tX)(p).$$

Por otro lado,

$$\begin{aligned} dF_K d\varpi_e(\text{Ad}(k)(X)) &= dF_K d\varpi_e(dR_{k^{-1}})_k(dL_k)_e(X) \\ &= \left. \frac{d}{dt} \right|_0 (F \circ \varpi \circ R_{k^{-1}} \circ L_k)(\exp tX) \\ &= \left. \frac{d}{dt} \right|_0 F(k \exp(tX) k^{-1} X), \end{aligned}$$

que resulta igual a (2.1.3), como se deseaba.  $\square$

En lo que sigue definiremos los conceptos de fibrado y subfibrado, y daremos algunos ejemplos que serán utilizados más adelante.

DEFINICIÓN 15. Dadas tres variedades diferenciables  $E$ ,  $M$  y  $N$ , una submersión  $\pi : E \rightarrow M$  se dice un **fibrado de  $E$  sobre  $M$  con fibra típica  $N$**  si para cada  $p \in M$  existen un entorno abierto  $U$  de  $p$  en  $M$  y un difeomorfismo  $\phi : \pi^{-1}(U) \rightarrow U \times N$  (llamado *trivialización local*) tal que  $\phi(x) \in \{q\} \times N$  para todo  $q \in U$  y  $x \in \pi^{-1}\{q\}$ , o equivalentemente, tal que el siguiente diagrama sea conmutativo:

$$\begin{array}{ccc} \pi^{-1}(U) & \xrightarrow{\phi} & U \times N \\ & \searrow & \downarrow \\ & & U. \end{array}$$

Por ejemplo, si  $M$  es una variedad diferenciable de dimensión  $m$  y  $TM$  es su espacio tangente, entonces la proyección canónica es un fibrado sobre  $M$  con fibra típica  $\mathbb{R}^m$ .

DEFINICIÓN 16. Sean  $\pi_1 : E_1 \rightarrow M$  y  $\pi_2 : E_2 \rightarrow M$  dos fibrados sobre la variedad diferenciable  $M$  con fibras típicas  $N_1$  y  $N_2$ , respectivamente. Una subvariedad  $\iota : E_1 \rightarrow E_2$  se dice un **subfibrado de  $\pi_2$  sobre  $M$**  si existe una subvariedad  $f : N_1 \rightarrow N_2$  que satisface la siguiente propiedad: Para todo  $p \in M$  existen un

abierto  $U$  de  $M$  que contiene a  $p$  y trivializaciones locales  $\phi_1 : \pi_1^{-1}(U) \rightarrow U \times N_1$  y  $\phi_2 : \pi_2^{-1}(U) \rightarrow U \times N_2$ , de  $E_1$  y  $E_2$  respectivamente, tales que

$$(2.1.4) \quad \phi_2 \circ \iota \circ \phi_1^{-1} = (\text{Id}, f).$$

En particular, se cumple que  $\pi_2 \circ \iota = \pi_1$ . En efecto, basta verificar la igualdad en el dominio de una trivialización cualquiera, digamos,  $\pi_1^{-1}(U)$ . Aplicamos miembro a miembro en (2.1.4) la proyección  $p_1$  sobre el primer factor de  $U \times N_2$  y obtenemos

$$p_1 \circ \phi_2 \circ \iota \circ \phi_1^{-1} = p_1.$$

La expresión deseada resulta de componer a derecha con  $\phi_1$  y de la identidad  $\pi_2 = p_1 \circ \phi_2$ .

En las siguientes proposiciones mencionamos ejemplos conocidos de subfibrados, que serán de utilidad.

**PROPOSICIÓN 17.** *Si  $H$  es un subgrupo cerrado del grupo de Lie  $K$  y  $K$ , a su vez, es un subgrupo cerrado del grupo de Lie  $G$ , entonces la proyección canónica  $G/H \rightarrow G/K$  es un fibrado con fibra típica  $K/H$ .*

**PROPOSICIÓN 18.** *Sea  $N$  una variedad diferenciable y sea  $G$  un grupo de Lie que actúa transitivamente en  $N$ . Dados  $p \in N$  y  $u \in T_p N$ , sea  $K$  el subgrupo de isotropía de  $G$  en  $p$  y sea  $H = \{h \in G : dh_p(u) = u\}$ . Suponemos que  $H$  y  $K$  son cerrados en  $G$ . Entonces la proyección canónica*

$$\{dg_p(u) : g \in G\} \rightarrow N$$

*es un fibrado con fibra típica  $K/H$ . Además, la inclusión*

$$\{dg_p(u) : g \in G\} \rightarrow TN$$

*es un subfibrado sobre  $N$ .*

## 2.2. Las formas espaciales de dimensión tres

De ahora en adelante denotaremos la base canónica de  $\mathbb{R}^4$  por  $\{e_0, e_1, e_2, e_3\}$ . De igual manera, si  $x \in \mathbb{R}^4$ , escribiremos  $x = (x_0, x_1, x_2, x_3)$  o  $x = x_0e_0 + x_1e_1 + x_2e_2 + x_3e_3$ .

DEFINICIÓN 19. Para  $\kappa = 0, 1, -1$ , sea  $M_\kappa$  la **forma espacial** de dimensión tres de curvatura gaussiana  $\kappa$ , o sea,  $M_0 = \mathbb{R}^3$ ,

$$M_1 = \{p \in \mathbb{R}^4 : \langle p, p \rangle_1 = 1\} \quad y \quad M_{-1} = \{p \in \mathbb{R}^4 : \langle p, p \rangle_{-1} = -1, p_0 > 0\},$$

donde

$$(2.2.1) \quad \langle x, y \rangle_\kappa = \kappa x_0 y_0 + x_1 y_1 + x_2 y_2 + x_3 y_3,$$

la cual induce una métrica riemanniana en  $M_\kappa$  para  $\kappa = \pm 1$ . Esto es,  $M_1$  es la esfera  $S^3$  y  $M_{-1}$  el espacio hiperbólico  $H^3$ .

Para tratar los tres casos simultáneamente, a veces convendrá identificar

$$\mathbb{R}^3 \equiv e_0 + \mathbb{R}^3 = \{p \in \mathbb{R}^4 : p_0 = 1\}.$$

Para  $\kappa = \pm 1$ , dado  $p \in M_\kappa$ , el espacio tangente  $T_p M_\kappa$  se identifica con  $p^\perp = \{q \in \mathbb{R}^4 : \langle q, p \rangle_\kappa = 0\} \subset \mathbb{R}^4$ .

DEFINICIÓN 20. Dada una curva suave  $\sigma$  en  $M_\kappa$  y un campo  $X$  a lo largo de  $\sigma$ , se define la **derivada covariante** de  $X$  a lo largo de  $\sigma$  por

$$\frac{DX}{d\tau}(t) = P_{\sigma(t)} \left( \left. \frac{d}{d\tau} \right|_t X(\tau) \right),$$

donde  $P_p(v) = v - \kappa \langle v, p \rangle_\kappa p$ .

Si la derivada covariante de  $X$  es cero para todo  $t$ , el campo  $X$  se dice **paralelo a lo largo de  $\sigma$** .

Notar que  $P_p$  es la identidad para  $\kappa = 0$  y la proyección ortogonal sobre  $p^\perp \equiv T_p M_\kappa$  para  $\kappa = \pm 1$  (pues  $\langle p, p \rangle_\kappa = \kappa$ ).

LEMA 21. *Dada una superficie parametrizada  $\psi(s, t)$  en  $M_\kappa$ , se cumple*

$$\frac{D}{dt} \frac{d}{ds} \psi(s, t) = \frac{D}{ds} \frac{d}{dt} \psi(s, t).$$

Para una curva suave  $\sigma$  en  $M_\kappa$  y  $v \in T_{\sigma(t_0)}M_\kappa$ , el teorema de existencia y unicidad de ecuaciones diferenciales ordinarias asegura la existencia de un único campo paralelo  $V$  a lo largo de  $\sigma$  con  $V(t_0) = v$ , que se denomina el **transporte paralelo** de  $v$  a lo largo de  $\sigma$ , y resulta de norma constante.

DEFINICIÓN 22. *Una curva  $\gamma$  en  $M_\kappa$  es una **geodésica** si su velocidad  $\gamma'$  es paralela a lo largo de  $\gamma$ , es decir,*

$$\frac{D\gamma'}{dt} \equiv 0.$$

PROPOSICIÓN 23. *Dado  $v \in T_pM_\kappa$ , existe una única geodésica con valor inicial  $p$  y velocidad inicial  $v$ . A esta geodésica la denotaremos por  $\gamma_v$ . En particular,*

$$\gamma_v(0) = p \quad \text{y} \quad \gamma'_v(0) = v.$$

DEFINICIÓN 24. *Una **isometría**  $\phi$  de  $M_\kappa$  es un difeomorfismo  $\phi : M_\kappa \rightarrow M_\kappa$  que preserva la métrica, es decir,*

$$\langle d\phi_p(u), d\phi_p(v) \rangle_\kappa = \langle u, v \rangle_\kappa$$

para todo  $p \in M_\kappa$  y todo  $u, v \in T_pM_\kappa$ .

Denotamos  $G_\kappa = \text{Iso}_0(M_\kappa)$ , la componente conexa de la identidad del grupo de isometrías de  $M_\kappa$ .

Sea  $O(4)$  el grupo de automorfismos del producto interno  $\langle, \rangle_1$  y  $O(1, 3)$  el análogo para  $\langle, \rangle_{-1}$ .

PROPOSICIÓN 25. *Con la identificación  $\mathbb{R}^3 \equiv e_0 + \mathbb{R}^3$ , se cumple que*

$$G_0 = \left\{ \begin{pmatrix} 1 & 0 \\ a & A \end{pmatrix} : a \in \mathbb{R}^3, A \in SO(3) \right\},$$

$$G_1 = SO(4) = \{A \in O(4) : \det A = 1\},$$

$$G_{-1} = O_o(1, 3) = \{A \in O(1, 3) : \det A = 1, (Ae_0)_0 > 0\}.$$

En particular, todos los  $G_\kappa$  mencionados son subgrupos de  $Gl_4(\mathbb{R})$ .

DEFINICIÓN 26. Una base orientada  $\{u, v, w\}$  de  $T_p M_\kappa$  es **positiva** si, respecto a la orientación canónica de  $\mathbb{R}^4$ ,  $\{p, u, v, w\}$  es una base positiva.

Dado un subconjunto ortonormal  $\{u, v\}$  de  $T_p M_\kappa$ , se define el **producto cruz**  $u \times v$  entre  $u$  y  $v$  como el único vector  $w$  que cumple que  $\{u, v, w\}$  es una base ortonormal positiva de  $T_p M_\kappa$ .

Por ejemplo, la base  $\{e_1, e_2, e_3\}$  de  $T_{e_0} M_\kappa$  es positiva y  $e_1 \times e_2 = e_3$ .

PROPOSICIÓN 27. a) Las isometrías llevan geodésicas en geodésicas y campos paralelos a lo largo de curvas en campos paralelos a lo largo de curvas.

b) Dados  $p, q \in M_\kappa$  y bases ortonormales positivamente orientadas  $\{u_1, u_2, u_3\}$  y  $\{v_1, v_2, v_3\}$  de  $T_p M_\kappa$  y  $T_q M_\kappa$ , respectivamente, entonces existe  $g \in G_\kappa$  tal que  $g(p) = q$  y  $dg_p(u_i) = v_i$  para todo  $i = 1, 2, 3$ .

DEFINICIÓN 28. Un **campo de Jacobi** a lo largo de una geodésica  $\sigma : \mathbb{R} \rightarrow M_\kappa$  es un campo a lo largo de  $\sigma$  de la forma

$$J(s) = \left. \frac{d}{dt} \right|_0 \phi(s, t),$$

donde  $\phi : \mathbb{R} \times (-\delta, \delta) \rightarrow M_\kappa$  es una **variación por geodésicas** de  $\sigma$ , es decir, una aplicación suave tal que  $\phi(s, 0) = \sigma(s)$  y  $s \mapsto \phi(s, t)$  es una geodésica de  $M_\kappa$  para todo  $t \in (-\delta, \delta)$ .

Antes de presentar la expresión general de un campo de Jacobi a lo largo de una geodésica en  $M_\kappa$  nos conviene introducir una notación común para las funciones trigonométricas e hiperbólicas.

DEFINICIÓN 29. Se definen las funciones  $\cos_\kappa$  y  $\text{sen}_\kappa$  de la siguiente manera:

$$\cos_\kappa t = \begin{cases} \cos t & \kappa = 1 \\ 1 & \kappa = 0 \\ \cosh t & \kappa = -1 \end{cases} \quad y \quad \text{sen}_\kappa t = \begin{cases} \text{sen } t & \kappa = 1 \\ t & \kappa = 0 \\ \sinh t & \kappa = -1. \end{cases}$$

Se cumple que  $\cos_\kappa 0 = 1$  y  $\text{sen}_\kappa 0 = 0$ . También, para todo  $s, t$ ,

- a)  $\cos_\kappa^2 s + \kappa \text{sen}_\kappa^2 s = 1$ ,
- b)  $\cos'_\kappa t = -\kappa \text{sen}_\kappa t$     y     $\text{sen}'_\kappa t = \cos_\kappa t$ ,
- c)  $\cos_\kappa(t + s) = \cos_\kappa t \cos_\kappa s - \kappa \text{sen}_\kappa t \text{sen}_\kappa s$ ,
- d)  $\text{sen}_\kappa(t + s) = \text{sen}_\kappa t \cos_\kappa s + \text{sen}_\kappa s \cos_\kappa t$ ,
- e)  $\cos_\kappa$  y  $\text{sen}_\kappa$  son funciones linealmente independientes.

Un campo de Jacobi  $J$  a lo largo de una geodésica  $\sigma$  y ortogonal a  $\sigma'$  de  $M_\kappa$  satisface

$$(2.2.2) \quad \frac{D^2 J}{dt^2} + \kappa J = 0.$$

En particular,  $J$  queda determinado por los valores de  $J(0)$  y  $\frac{DJ}{dt}(0)$ . Más aún, tenemos una expresión explícita: Si  $J(0) = u + a\sigma'(0)$  y  $\frac{DJ}{dt}(0) = v + b\sigma'(0)$ , con  $a, b \in \mathbb{R}$ ,  $u, v \in \sigma'(0)^\perp$ , entonces

$$(2.2.3) \quad J(s) = \cos_\kappa(s)U(s) + \text{sen}_\kappa(s)V(s) + (a + sb)\sigma'(s),$$

donde  $U, V$  son campos paralelos a lo largo de  $\sigma$  con  $U(0) = u$  y  $V(0) = v$ .

### 2.3. Espacio de geodésicas orientadas de $M_\kappa$

En esta sección se define el espacio  $\mathcal{G}_\kappa$  de geodésicas orientadas en  $M_\kappa$ , se le da una estructura diferenciable y se presentan algunas propiedades.

Sea  $\mathcal{G}_\kappa$  el espacio de las geodésicas orientadas de  $M_\kappa$  salvo parametrizaciones, o sea

$$\mathcal{G}_\kappa = \{[\sigma] \mid \sigma : \mathbb{R} \rightarrow M_\kappa \text{ es una geodésica de } M_\kappa \text{ de rapidez unitaria}\},$$

donde dos geodésicas  $\sigma, \tilde{\sigma}$  están relacionadas si para todo  $t$  se cumple  $\sigma(t) = \tilde{\sigma}(t + t_0)$  para algún  $t_0 \in \mathbb{R}$ .

Por abuso de notación diremos que un punto  $p$  está en  $\ell \in \mathcal{G}_\kappa$  si para alguna parametrización  $\sigma$  de  $\ell$  existe un  $t_0$  tal que  $p = \sigma(t_0)$ .

**PROPOSICIÓN 30.** *El grupo de isometrías  $G_\kappa$  actúa transitivamente en  $\mathcal{G}_\kappa$  mediante  $g \cdot [\sigma] = [g \circ \sigma]$ .*

DEMOSTRACIÓN. Veamos primero que  $\cdot$  es, en efecto, una acción. Sean  $g, h \in G_\kappa$  y sea  $[\sigma] \in \mathcal{G}_\kappa$ ,

$$g \cdot (h \cdot [\sigma]) = g \cdot [h \circ \sigma] = [g \circ (h \circ \sigma)] = [(g \circ h) \circ \sigma] = gh \cdot [\sigma]$$

y si  $I$  es la identidad en  $G_\kappa$ , entonces

$$I \cdot [\sigma] = [I \circ \sigma] = [\sigma].$$

Sean ahora  $[\sigma_1], [\sigma_2] \in \mathcal{G}_\kappa$ . Por la Proposición 27 existe  $g \in G_\kappa$  tal que

$$g(\sigma_1(0)) = \sigma_2(0) \quad \text{y} \quad dg_{\sigma_1(0)}\sigma_1'(0) = \sigma_2'(0).$$

Luego, por la Proposición 23 tenemos que  $[g \circ \sigma_1] = [\sigma_2]$ , y por lo tanto  $G_\kappa$  actúa transitivamente en  $\mathcal{G}_\kappa$ .  $\square$

A continuación definimos una geodésica de  $M_\kappa$  en buena posición, que será de utilidad más adelante.

Sea  $\sigma_0$  la geodésica en  $M_\kappa$  definida por

$$(2.3.1) \quad \sigma_0(s) = \cos_\kappa s e_0 + \sin_\kappa s e_1.$$

Veamos que  $\sigma_0$  es efectivamente una curva en  $M_\kappa$  y que es una geodésica.

Claramente es una curva en  $M_\kappa$ , pues para  $\kappa = 0$  tenemos  $\sigma_0(s) = e_0 + se_1$  (recurrimos a la identificación  $\mathbb{R}^3 \cong e_0 + \mathbb{R}^3$ ) y para  $\kappa = \pm 1$ ,

$$\langle \cos_\kappa s e_0 + \sin_\kappa s e_1, \cos_\kappa s e_0 + \sin_\kappa s e_1 \rangle_\kappa = \kappa \cos_\kappa^2 s + \sin_\kappa^2 s = \kappa$$

(con  $\cos_\kappa s > 0$  para todo  $s$  si  $\kappa = -1$ ). Para ver que  $\sigma_0$  es una geodésica calculamos

$$\begin{aligned} \frac{D}{dr} \Big|_s \sigma_0'(r) &= \frac{D}{dr} \Big|_s (-\kappa \sin_\kappa r e_0 + \cos_\kappa r e_1) \\ &= P_{\sigma_0(s)} \left( \frac{d}{dr} \Big|_s (-\kappa \sin_\kappa r e_0 + \cos_\kappa r e_1) \right) \\ &= -\kappa (\cos_\kappa s e_0 + \sin_\kappa s e_1) + \kappa^2 (\kappa \cos_\kappa^2 s + \sin_\kappa^2 s) (\cos_\kappa s e_0 + \sin_\kappa s e_1) \\ &= -\kappa (\cos_\kappa s e_0 + \sin_\kappa s e_1) + \kappa (\cos_\kappa s e_0 + \sin_\kappa s e_1) \\ &= 0, \end{aligned}$$

como debía ser.

Para  $A, B \in \mathbb{R}^{2 \times 2}$ , denotamos por  $\text{diag}(A, B)$  a la matriz  $\begin{pmatrix} A & 0_2 \\ 0_2 & B \end{pmatrix} \in \mathbb{R}^{4 \times 4}$ , donde  $0_2$  denota la matriz  $2 \times 2$  con entradas todas cero.

Extraemos la siguiente proposición de [6] y escribimos la prueba.

PROPOSICIÓN 31. *El subgrupo de isotropía de  $G_\kappa$  en  $[\sigma_0]$  es*

$$(2.3.2) \quad K_\kappa = \{\text{diag}(R_\kappa(t), B) : t \in \mathbb{R}, B \in SO(2)\},$$

donde

$$(2.3.3) \quad R_\kappa(t) = \begin{pmatrix} \cos_\kappa t & -\kappa \text{sen}_\kappa t \\ \text{sen}_\kappa t & \cos_\kappa t \end{pmatrix}.$$

DEMOSTRACIÓN. Sea  $A = \text{diag}(R_\kappa(t), B)$  para algún  $t \in \mathbb{R}$  y  $B \in SO(2)$ . De la Proposición 25 es inmediato que  $A \in G_\kappa$ . Veamos que está en la isotropía de  $[\sigma_0]$ , es decir, que  $A$  fija la trayectoria de  $\sigma_0$ , sin cambiar su orientación. Tenemos  $A \cdot [\sigma_0] = [A\sigma_0]$  donde

$$\begin{aligned} A\sigma_0(s) &= \text{diag}(R_\kappa(t), B)(\cos_\kappa s e_0 + \text{sen}_\kappa s e_1) \\ &= (\cos_\kappa t \cos_\kappa s - \kappa \text{sen}_\kappa t \text{sen}_\kappa s) e_0 + (\text{sen}_\kappa t \cos_\kappa s + \cos_\kappa t \text{sen}_\kappa s) e_1 \\ &= \cos_\kappa(s+t) e_0 + \text{sen}_\kappa(s+t) e_1 \\ &= \sigma_0(s+t). \end{aligned}$$

Así,  $[A\sigma_0] = [\sigma_0]$ , que es lo que buscábamos.

Sea ahora  $A$  un elemento del subgrupo de isotropía de  $G_\kappa$  en  $[\sigma_0]$ , entonces

$$A\sigma_0(s) = \sigma_0(s + s_0)$$

para todo  $s$  y algún  $s_0 \in \mathbb{R}$ . Puesto en forma matricial, se tiene

$$\begin{pmatrix} A_{11} & A_{12} \\ A_{21} & A_{22} \end{pmatrix} \begin{pmatrix} \cos_\kappa s \\ \text{sen}_\kappa s \end{pmatrix} = \begin{pmatrix} \cos_\kappa(s + s_0) \\ \text{sen}_\kappa(s + s_0) \end{pmatrix},$$

$$\begin{pmatrix} A_{31} & A_{32} \\ A_{41} & A_{42} \end{pmatrix} \begin{pmatrix} \cos_\kappa s \\ \text{sen}_\kappa s \end{pmatrix} = \begin{pmatrix} 0 \\ 0 \end{pmatrix}.$$

Igualando entrada a entrada, de la independendencia lineal de  $\cos_\kappa$  y  $\sin_\kappa$  resulta

$$(2.3.4) \quad A = \begin{pmatrix} R_\kappa(s_0) & C \\ 0_2 & B \end{pmatrix},$$

donde  $C$  y  $B$  son matrices reales  $2 \times 2$ . Ahora consideramos los casos  $\kappa = 1, 0, -1$ .

Para  $\kappa = 0$ , los elementos de  $G_0$  tienen la forma  $\begin{pmatrix} 1 & 0 \\ a & D \end{pmatrix}$  con  $a \in \mathbb{R}^3$  y

$D \in SO(3)$ . Luego  $C = \begin{pmatrix} 0 & 0 \\ x & y \end{pmatrix}$  para ciertos  $x, y \in \mathbb{R}$ . Ahora, de  $D^T D = I_3$  se deduce que  $C = 0$  y  $B \in SO(2)$ .

Para  $\kappa = \pm 1$ , por la Proposición 25,  $G_\kappa$  está contenido en el grupo de automorfismos de  $\langle, \rangle_\kappa$ , es decir, en

$$\{A \in \mathbb{R}^{4 \times 4} : A^T P_\kappa A = P_\kappa\},$$

donde  $P_\kappa = \text{diag}(Q_\kappa, I_2)$ , con  $Q_\kappa = \text{diag}(\kappa, 1)$ . Luego

$$A^T P_\kappa A = \begin{pmatrix} R_\kappa(s_0)^T Q_\kappa R_\kappa(s_0) & R_\kappa(s_0)^T Q_\kappa C \\ C^T Q_\kappa R_\kappa(s_0) & C^T Q_\kappa C + B^T B \end{pmatrix} = \begin{pmatrix} Q_\kappa & 0 \\ 0 & I_2 \end{pmatrix}.$$

Como  $R_\kappa(s_0)$  y  $Q_\kappa$  son inversibles resulta  $C = 0$ . Se sigue que  $B^T B = I_2$ , luego  $B \in O(2)$ . Pero como tanto la matriz  $A$  en (2.3.4) como  $R_\kappa(s_0)$  tienen determinante igual a 1,  $B \in SO(2)$ .  $\square$

**COROLARIO 32.** *El subgrupo  $K_\kappa$  es cerrado en  $G_\kappa$ .*

**DEMOSTRACIÓN.** La afirmación resulta de que  $SO(2)$  es compacto y que para  $\kappa = 0, -1$ , si  $R_\kappa(t_n)$  converge, entonces la sucesión  $t_n$  también converge, pues la función  $\text{sen}_\kappa$  es un homeomorfismo de  $\mathbb{R}$ .  $\square$

Por este corolario, se satisfacen las condiciones del Teorema 11. Así, el cociente  $G_\kappa/K_\kappa$  posee una estructura diferenciable, la cual podemos copiar al espacio de geodésicas orientadas de  $M_\kappa$ .

**DEFINICIÓN 33.** *La estructura diferenciable en  $\mathcal{G}_\kappa$  es la inducida por la biyección*

$$(2.3.5) \quad F : G_\kappa/K_\kappa \rightarrow \mathcal{G}_\kappa, \quad F(gK_\kappa) = g \cdot [\sigma_0],$$

donde  $\sigma_0$  es la geodésica de  $M_\kappa$  definida en (2.3.1) y el cociente  $G_\kappa/K_\kappa$  está munido de la estructura diferenciable dada por el Teorema 11.

PROPOSICIÓN 34. La proyección  $\Pi : T^1M_\kappa \rightarrow \mathcal{G}_\kappa$ ,  $\Pi(u) = [\gamma_u]$  es suave.

DEMOSTRACIÓN. Por la Proposición 27,  $G_\kappa$  actúa transitivamente en  $T^1M_\kappa$ . Sea  $L_\kappa$  el subgrupo de isotropía en  $e_1 \in T_{e_0}M_\kappa$  ( $M_0 = \mathbb{R}^3 \equiv e_0 + \mathbb{R}^3$ ), que consiste de los elementos de  $K_\kappa$  como en (2.3.2) con  $t = 0$ . Entonces, la aplicación  $\tilde{F} : G_\kappa/L_\kappa \rightarrow T^1M_\kappa$  dada por  $\tilde{F}(gL_\kappa) = dg_{e_0}(e_1)$  es un difeomorfismo por la Proposición 12.

Por otro lado, la única aplicación  $\tilde{\pi}$  que hace conmutativo el diagrama

$$\begin{array}{ccc} G_\kappa/L_\kappa & \xrightarrow{\tilde{F}} & T^1M_\kappa \\ \downarrow \tilde{\pi} & & \downarrow \Pi \\ G_\kappa/K_\kappa & \xrightarrow{F} & \mathcal{G}_\kappa. \end{array}$$

está dada por  $\tilde{\pi}(gL_\kappa) = gK_\kappa$ . En efecto,

$$F(\tilde{\pi}(gL_\kappa)) = F(gK_\kappa) = g \circ [\sigma_0]$$

y también,

$$\Pi(\tilde{F}(gL_\kappa)) = \Pi(dg(e_1)) = [\gamma_{dg(e_1)}].$$

Luego las dos expresiones coinciden pues  $\gamma_{dg(e_1)} = g \circ \sigma_0$ . En consecuencia,  $\tilde{\pi}$  es suave por la Proposición 17 y de allí se deduce que  $\Pi$  es suave, como se deseaba.  $\square$

COROLARIO 35. Dada una superficie parametrizada  $\phi$  en  $M_\kappa$  tal que  $s \mapsto \phi(s, t) = \phi_t(s)$  es una geodésica de  $M_\kappa$  para cada  $t \in \mathbb{R}$  entonces la aplicación  $t \mapsto [\phi_t]$  es suave.

DEMOSTRACIÓN. Es inmediata de la proposición anterior pues

$$[\phi_t] = \Pi\left(\frac{\partial \phi}{\partial s}(0, t)\right).$$

$\square$

La siguiente proposición provee otra presentación de  $\mathcal{G}_\kappa$  para  $\kappa = 0, -1$ .

PROPOSICIÓN 36. [3] Para  $\kappa = 0, -1$ , la variedad diferenciable  $\mathcal{G}_\kappa$  es difeomorfa a  $TS^2$ .

Sólo describimos el difeomorfismo (ver la Proposición 4.14 en el artículo citado).

Sea

$$\varphi : T(T_{e_0}^1 M_\kappa) \cong TS^2 \rightarrow \mathcal{G}_\kappa$$

la aplicación definida como sigue: Sea  $u \in T_{e_0}^1 M_\kappa \cong S^2$  y  $v \in T_{e_0} M_\kappa \cong \mathbb{R}^3$  con  $v \in u^\perp \cong T_u S^2$ , entonces  $\varphi(u, v) = [\gamma_{U(1)}]$ , donde  $U$  es el transporte paralelo del vector  $u$  a largo de  $\gamma_v$ .

Para  $\kappa = 0, 1, -1$  denotamos por  $\mathfrak{g}_\kappa$  el álgebra de Lie de  $G_\kappa$ . De [6] tenemos que

$$\mathfrak{g}_\kappa = \left\{ \begin{pmatrix} 0 & -\kappa x^T \\ x & B \end{pmatrix} : x \in \mathbb{R}^3, B^T = -B \right\}.$$

El álgebra de Lie de  $K_\kappa$  es

$$\mathfrak{k}_\kappa = \left\{ \text{diag} \left( \begin{pmatrix} 0 & -\kappa t \\ t & 0 \end{pmatrix}, \begin{pmatrix} 0 & -s \\ s & 0 \end{pmatrix} \right) : s, t \in \mathbb{R} \right\}.$$

Para vectores columna  $x, y \in \mathbb{R}^2$  llamamos

$$(2.3.6) \quad Z(x, y) = \begin{pmatrix} 0_2 & (-\kappa x, -y)^T \\ (x, y) & 0_2 \end{pmatrix}.$$

PROPOSICIÓN 37. *El subespacio*

$$\mathfrak{p}_\kappa =_{\text{def}} \{ Z(x, y) \in \mathfrak{g}_\kappa : x, y \in \mathbb{R}^2 \}$$

de  $\mathfrak{g}_\kappa$  es un complemento  $\text{Ad}(K_\kappa)$ -invariante de  $\mathfrak{k}_\kappa$ .

DEMOSTRACIÓN. De las definiciones de  $\mathfrak{g}_\kappa$ ,  $\mathfrak{k}_\kappa$  y  $\mathfrak{p}_\kappa$  es inmediato que  $\mathfrak{p}_\kappa$  es un complemento de  $\mathfrak{k}_\kappa$ .

Veamos ahora que  $\mathfrak{p}_\kappa$  es invariante por  $\text{Ad}(K_\kappa)$ . Sea  $\text{diag}(R_\kappa(t), B) \in K_\kappa$ . Como  $R_\kappa(t)^{-1} = R_\kappa(-t)$  y  $B^{-1} = B^T$ , tenemos que

$$\text{Ad} \begin{pmatrix} R_\kappa(t) & 0_2 \\ 0_2 & B \end{pmatrix} \begin{pmatrix} 0_2 & (-\kappa x, -y)^T \\ (x, y) & 0_2 \end{pmatrix}$$

es igual a

$$\begin{pmatrix} 0_2 & R_\kappa(t)(-\kappa Bx, -By)^T \\ (Bx, By)R_\kappa(-t) & 0_2 \end{pmatrix},$$

que está en  $\mathfrak{p}_\kappa$  pues

$$(Bx, By)R_\kappa(-t) = (\cos_\kappa t Bx - \operatorname{sen}_\kappa t By, \kappa \operatorname{sen}_\kappa t Bx + \cos_\kappa t By)$$

y por otro lado,

$$R_\kappa(t)(-\kappa Bx, -By)^T = -(\kappa(\cos_\kappa t Bx - \operatorname{sen}_\kappa t By), \kappa \operatorname{sen}_\kappa t Bx + \cos_\kappa t By)^T.$$

Por lo tanto,

$$\operatorname{Ad}(\operatorname{diag}(R_\kappa(t), B))Z(x, y) = Z(\cos_\kappa t Bx - \operatorname{sen}_\kappa t By, \kappa \operatorname{sen}_\kappa t Bx + \cos_\kappa t By)$$

como queríamos.  $\square$

A continuación presentamos el espacio tangente a  $\mathcal{G}_\kappa$  en un punto  $\sigma$  en términos de campos de Jacobi a lo largo de  $\sigma$ .

Sea  $\sigma$  una geodésica completa de  $M_\kappa$  de rapidez unitaria y sea  $\mathcal{J}_\sigma$  el **espacio de todos los campos de Jacobi a lo largo de  $\sigma$  que son ortogonales a  $\sigma'$** . En [14] se demuestra la siguiente proposición para el caso hiperbólico. La prueba se puede adaptar a los casos euclídeo y esférico.

PROPOSICIÓN 38. *Existe un isomorfismo canónico, bien definido,*

$$(2.3.7) \quad T_\sigma : \mathcal{J}_\sigma \rightarrow T_{[\sigma]}\mathcal{G}_\kappa, \quad T_\sigma(J) = \left. \frac{d}{dt} \right|_0 [\sigma_t],$$

donde  $\sigma_t$  es cualquier variación de  $\sigma$  por geodésicas de rapidez unitaria asociada a  $J$ .

Extraemos de [5] la siguiente proposición, que nos permitirá usar la anterior incluso si el campo de Jacobi a lo largo de  $\sigma$  no es ortogonal a  $\sigma'$ .

PROPOSICIÓN 39. *Sea  $\varphi : \mathbb{R}^2 \rightarrow M_\kappa$  una aplicación suave tal que para cada  $t \in \mathbb{R}$ ,  $s \mapsto \varphi(s, t) =_{\text{def}} \varphi_t(s)$  es una geodésica de rapidez unitaria y sea  $J$  el campo de Jacobi a lo largo de  $\varphi_0$  asociado. Entonces*

$$(2.3.8) \quad T_{\varphi_0}(J^N) = \left. \frac{d}{dt} \right|_0 [\varphi_t],$$

donde  $J^N(s) = J(s) - \langle J(s), \varphi'_0(s) \rangle_{\kappa} \varphi'_0(s)$ , o sea la proyección ortogonal de  $J(s)$  sobre el complemento ortogonal de  $\varphi'_0(s)$ .

## Capítulo 3

### El sistema de control helicoidal de paso fijo en $\mathcal{G}_\kappa$

Para comenzar este capítulo, repetimos algunas definiciones de la introducción, que son centrales en este trabajo.

**DEFINICIÓN 2.** Sean  $\alpha \in \mathbb{R}$  y  $\ell \in \mathcal{G}_\kappa$ . Dados  $p \in \ell$  y  $A \in T_p M_\kappa$  unitario ortogonal a  $\ell$ , definimos  $\phi_{\ell,p,A} : \mathbb{R}^2 \rightarrow M_\kappa$ , la **superficie parametrizada  $\alpha$ -helicoidal con rayo inicial  $\ell$  y eje  $\gamma_A$**  como sigue: Suponer que  $\ell = [\sigma]$  con  $\sigma(0) = p$  y sea  $B = A \times \sigma'(0)$ . Entonces

$$\phi_{\ell,p,A}^\alpha(s, t) = \gamma_{\cos(\alpha t)V_t + \sin(\alpha t)B_t}(s)$$

donde  $V_t$  y  $B_t$  son los traslados paralelos entre 0 y  $t$  de  $\sigma'(0)$  y  $B$ , respectivamente, a lo largo de  $\gamma_A$ .

**DEFINICIÓN 3.** Dados  $\ell, p, A$  como arriba, definimos  $\Gamma_{\ell,p,A}^\alpha : \mathbb{R} \rightarrow \mathcal{G}_\kappa$ , la **curva  $\alpha$ -helicoidal con rayo inicial  $\ell$  y eje  $\gamma_A$**  mediante

$$(3.0.1) \quad \Gamma_{\ell,p,A}^\alpha(t) = [s \mapsto \phi_{\ell,p,A}^\alpha(s, t)]$$

Esta curva resulta suave por el Corolario 35.

**DEFINICIÓN 4.** Para  $\kappa = 0, 1, -1$  y  $\alpha \in \mathbb{R}$  sea  $\mathcal{A}_\kappa^\alpha$  el subconjunto de  $T\mathcal{G}_\kappa$  dado por

$$\mathcal{A}_\kappa^\alpha = \left\{ (\Gamma_{\ell,p,A}^\alpha)'(0) : \ell \in \mathcal{G}_\kappa, p \in \ell, A \in T_p M_\kappa \text{ unitario ortogonal a } \ell \right\},$$

es decir, el conjunto de todas las velocidades iniciales de curvas  $\alpha$ -helicoidales en  $\mathcal{G}_\kappa$ .

**PROPOSICIÓN 40.** El grupo  $G_\kappa$  actúa transitivamente en  $\mathcal{A}_\kappa^\alpha$  mediante la diferencial.

Antes de la prueba será conveniente que consideremos  $\ell, p, A$  en buena posición, como sigue:

$$\ell_0 = [\sigma_0], \quad p_0 = e_0 = \sigma_0(0), \quad A_0 = e_3 \quad \text{y} \quad B_0 = A_0 \times \sigma'_0(0) = e_2,$$

donde  $\sigma_0(s) = \cos_\kappa s e_0 + \sin_\kappa s e_1$ , como en (2.3.1). Llamamos  $\Gamma_0$  a la curva en  $\mathcal{G}_\kappa$  definida por

$$(3.0.2) \quad \Gamma_0 = \Gamma_{\ell_0, p_0, A_0}^\alpha$$

y denotamos también por  $X_\alpha$  la velocidad de  $\Gamma_0$ , es decir,

$$(3.0.3) \quad X_\alpha = \left. \frac{d}{dt} \right|_0 \Gamma_0(t) \in T_{\ell_0} \mathcal{G}_\kappa.$$

DEMOSTRACIÓN. Sabemos que  $G_\kappa$  actúa en  $\mathcal{G}_\kappa$  y recordemos que podemos pensar a  $g \in G_\kappa$  como una función suave. Esto induce la acción de  $G_\kappa$  en  $T\mathcal{G}_\kappa$  mediante  $g \cdot v = dg_\ell(v)$ , donde  $v \in T_\ell \mathcal{G}_\kappa$ . Veamos primero que esta acción preserva  $\mathcal{A}_\kappa^\alpha$ . Sean  $g \in G_\kappa$ ,  $\ell = [\sigma] \in \mathcal{G}_\kappa$ ,  $p = \sigma(0)$  y  $A \in T_p M_\kappa$  unitario ortogonal a  $\sigma'(0)$ . Veamos que  $g \cdot \Gamma'_{\ell, p, A}(0) \in \mathcal{A}_\kappa^\alpha$  y para ello verificamos que

$$g \cdot \Gamma'_{\ell, p, A}(0) = \Gamma'_{g(\ell), g(p), dg_p(A)}(0).$$

Notemos que la curva  $\Gamma_{g(\ell), g(p), dg_p(A)}$  está bien definida pues  $G_\kappa$  actúa en  $\mathcal{G}_\kappa$ ,  $M_\kappa$  y  $T_p M_\kappa$ . Además, las isometrías llevan campos paralelos en campos paralelos y preservan longitudes.

Tenemos que

$$\begin{aligned} dg_\ell(\Gamma'_{\ell, p, A}(0)) &= \left. \frac{d}{dt} \right|_0 (g \circ \Gamma_{\ell, p, A})(t) \\ &= \left. \frac{d}{dt} \right|_0 [s \mapsto g \circ \gamma_{\cos(\alpha t)V_t + \sin(\alpha t)B_t}(s)] \\ &= \left. \frac{d}{dt} \right|_0 [s \mapsto \gamma_{\cos(\alpha t)dg_p(V_t) + \sin(\alpha t)dg_p(B_t)}(s)], \end{aligned}$$

donde  $V, B$  son como en la Definición 2, pues como las isometrías llevan geodésicas en geodésicas, dado un vector  $u$  en  $T_p M_\kappa$  se cumple que  $g \circ \gamma_u = \gamma_{dg_p(u)}$ .

Como  $V_t$  y  $B_t$  son los transportes paralelos a lo largo de  $\sigma$  de  $\sigma'(0)$  y  $B$  respectivamente,  $dg_p(V_t)$  y  $dg_p(B_t)$  resultan los transportes paralelos a lo largo de  $g \circ \sigma$  de  $dg_p(\sigma'(0))$  y  $dg_p(B) = dg_p(\sigma'(0)) \times dg_p(A)$  respectivamente. Luego

$$dg_\ell(\Gamma'_{\ell,p,A}(0)) = \frac{d}{dt} \Big|_0 \Gamma_{g(\ell),g(p),dg_p(A)}(t),$$

que es lo que queríamos ver.

Finalmente, nos ocupamos ahora de la transitividad de la acción. Dado un elemento de  $\mathcal{A}_\kappa^\alpha$ , digamos  $\Gamma'_{\ell,p,A}(0)$ , la existencia de  $g \in G_\kappa$  tal que  $g \cdot X_\alpha = \Gamma'_{\ell,p,A}(0)$  se deduce de la Proposición 27.  $\square$

Recordamos de la introducción las definiciones de sistema de control y del sistema de control objeto de este trabajo.

**DEFINICIÓN 1.** Un **sistema de control** en una variedad diferenciable  $N$  es un subfibrado  $(\mathcal{A}, \iota)$  del fibrado tangente  $TN$

$$\begin{array}{ccc} \mathcal{A} & \xrightarrow{\iota} & TN \\ & \searrow & \downarrow \pi \\ & & N. \end{array}$$

Una curva suave  $\gamma : (a, b) \rightarrow N$  se dice **admisibile** si para todo  $t \in (a, b)$  se cumple  $\gamma'(t) \in \iota(\mathcal{A})$ . Un sistema de control en  $N$  se dice **controlable** si para cada par de puntos en  $N$  existe una curva admisibile a trozos que los une.

Sea  $H_\kappa(\alpha)$  el subgrupo de isotropía en  $X_\alpha$  de la acción de  $G_\kappa$  en  $\mathcal{A}_\kappa^\alpha$ .

**PROPOSICIÓN 41.** La proyección canónica  $\mathcal{A}_\kappa^\alpha \rightarrow \mathcal{G}_\kappa$  es un fibrado con fibra típica  $K_\kappa/H_\kappa(\alpha)$ . Más aún, la inclusión  $\iota_\kappa^\alpha : \mathcal{A}_\kappa^\alpha \rightarrow T\mathcal{G}_\kappa$  es un subfibrado y esto da el sistema de control

$$\begin{array}{ccc} \mathcal{A}_\kappa^\alpha & \xrightarrow{\iota_\kappa^\alpha} & T\mathcal{G}_\kappa \\ & \searrow & \downarrow \pi \\ & & \mathcal{G}_\kappa. \end{array}$$

DEMOSTRACIÓN. De la Proposición 40 sabemos que  $\mathcal{A}_\kappa^\alpha = \{dg_{\ell_0}(X_\alpha) : g \in G_\kappa\}$ . Luego la afirmación se deduce de la Proposición 18.  $\square$

Llamamos

$$(3.0.4) \quad \xi_\alpha = \begin{pmatrix} 0 & -(a_\kappa^\alpha)^T \\ a_1^\alpha & 0 \end{pmatrix} = Z \left( \begin{pmatrix} 0 \\ 1 \end{pmatrix}, \begin{pmatrix} \alpha \\ 0 \end{pmatrix} \right) \in \mathfrak{p}_\kappa,$$

donde  $Z$  se definió en (2.3.6) y

$$a_\kappa^\alpha = \begin{pmatrix} 0 & \alpha \\ \kappa & 0 \end{pmatrix}.$$

LEMA 42. Para cada  $t \in \mathbb{R}$ , sea  $S_t \in G_\kappa$  dado por

$$S_t = \begin{pmatrix} \cos_\kappa t & 0 & 0 & -\kappa \operatorname{sen}_\kappa t \\ 0 & \cos \alpha t & -\operatorname{sen} \alpha t & 0 \\ 0 & \operatorname{sen} \alpha t & \cos \alpha t & 0 \\ \operatorname{sen}_\kappa t & 0 & 0 & \cos_\kappa t \end{pmatrix}.$$

Se tiene que  $S_t = \exp(t\xi_\alpha)$  y además, para todo  $s, t \in \mathbb{R}$  se cumple que

$$S_t \sigma_0(s) = \phi_{\ell_0, p_0, A_0}^\alpha(s, t).$$

DEMOSTRACIÓN. Notemos primero que, en efecto,  $S_t = \exp(t\xi_\alpha)$  para todo  $t$ , pues  $S_{s+t} = S_s \circ S_t$  para todo  $s, t$  y  $S'_0 = \xi_\alpha$ .

Fijamos  $t$  y verificamos que  $S_t \sigma_0(s)$  y  $\phi_{\ell_0, p_0, A_0}^\alpha(s, t)$  coinciden como funciones de  $s$ . Como ambas son geodésicas con el mismo valor inicial  $\cos_\kappa t e_0 + \operatorname{sen}_\kappa t e_3$ , basta ver que poseen la misma velocidad inicial. Calculamos

$$\left. \frac{d}{ds} \right|_0 S_t \sigma_0(s) = S_t \left. \frac{d}{ds} \right|_0 \sigma_0(s) = S_t e_1 = \cos(\alpha t) e_1 + \operatorname{sen}(\alpha t) e_2,$$

que es igual a

$$\left. \frac{d}{ds} \right|_0 \phi_{\ell_0, p_0, A_0}^\alpha(s, t) = \left. \frac{d}{ds} \right|_0 \gamma_{\cos(\alpha t)V_t + \operatorname{sen}(\alpha t)B_t}(s) = \cos(\alpha t) V_t + \operatorname{sen}(\alpha t) B_t,$$

y como  $V_t = e_1$ ,  $B_t = e_2$  para todo  $t$ , resulta la igualdad deseada.  $\square$

En el siguiente lema usamos notación de (2.3.5), (3.0.4) y (3.0.3).

LEMA 43. El isomorfismo  $d(F \circ \varpi)_I|_{\mathfrak{p}_\kappa} : \mathfrak{p}_\kappa \rightarrow T_{\ell_0} \mathcal{G}_\kappa$  lleva el vector  $\xi_\alpha$  en  $X_\alpha$ .

DEMOSTRACIÓN. Notemos primero que por las proposiciones 13 y 37,  $d(F \circ \varpi)_I|_{\mathfrak{p}_\kappa}$  es efectivamente un isomorfismo.

Sea  $S_t$  como en el Lema 42. Calculamos

$$d(F \circ \varpi)_I(\xi_\alpha) = d(F \circ \varpi)_I(S'_0) = \left. \frac{d}{dt} \right|_0 F \circ \varpi \circ S_t = \left. \frac{d}{dt} \right|_0 S_t[\sigma_0],$$

que por el mismo lema resulta igual a  $\left. \frac{d}{dt} \right|_0 \Gamma_0(t) = X_\alpha$ .  $\square$

A continuación describimos explícitamente el subgrupo  $H_\kappa(\alpha)$ .

PROPOSICIÓN 44. a) *Supongamos que  $\alpha^2 \neq \kappa$ . Si  $\kappa = -1, 0$ , entonces  $H_\kappa(\alpha) = \{I\}$  y si  $\kappa = 1$  entonces  $H_\kappa(\alpha) = \{\pm I\}$ .*

b) *Para  $\alpha = \pm 1$  vale*

$$H_1(\alpha) = \{\text{diag}(R_1(-\alpha s), R_1(s)) : s \in \mathbb{R}\},$$

$$H_0(0) = \{\text{diag}(R_0(s), I_2) : s \in \mathbb{R}\},$$

donde  $R_\kappa$  se definió en (2.3.3).

DEMOSTRACIÓN. Como claramente  $H_\kappa(\alpha) \subset K_\kappa$ , por el lema anterior y por la conmutatividad del diagrama de (2.1.2) adaptado a nuestro caso,

$$(3.0.5) \quad \begin{array}{ccc} \mathfrak{p}_\kappa & \xrightarrow{\text{Ad}(k)} & \mathfrak{p}_\kappa \\ \downarrow d(F \circ \varpi)_I|_{\mathfrak{p}_\kappa} & & \downarrow d(F \circ \varpi)_I|_{\mathfrak{p}_\kappa} \\ T_{\ell_0} \mathcal{G}_\kappa & \xrightarrow{dk_p} & T_{\ell_0} \mathcal{G}_\kappa \end{array}$$

encontrar los elementos  $k \in G_\kappa$  tales que  $dk_{\ell_0} X_\alpha = X_\alpha$  equivale a hallar los  $k \in K_\kappa$  tales que  $\text{Ad}(k)(\xi_\alpha) = \xi_\alpha$ .

Como las multiplicaciones a izquierda y a derecha por  $k$  son lineales en  $\mathbb{R}^{4 \times 4}$ , resulta  $\text{Ad}(k)(\xi_\alpha) = k\xi_\alpha k^{-1}$ . Sea  $k \in K_\kappa$ , o sea,

$$(3.0.6) \quad k = \begin{pmatrix} R_\kappa(t) & 0_2 \\ 0_2 & R_1(s) \end{pmatrix}$$

como en (2.3.2). Calculamos

$$(3.0.7) \quad \begin{aligned} \text{Ad } (k) (\xi_\alpha) &= k \begin{pmatrix} 0 & -(a_\kappa^\alpha)^T \\ a_1^\alpha & 0 \end{pmatrix} k^{-1} \\ &= \begin{pmatrix} 0_2 & -R_\kappa(t) (a_\kappa^\alpha)^T R_1(-s) \\ R_1(s) a_1^\alpha R_\kappa(-t) & 0_2 \end{pmatrix}, \end{aligned}$$

que coincide con  $\xi_\alpha$  si y solo si  $R_1(s) a_1^\alpha = a_1^\alpha R_\kappa(t)$  para todo  $t$ . Como

$$\begin{pmatrix} \cos s & -\sin s \\ \sin s & \cos s \end{pmatrix} \begin{pmatrix} 0 & \alpha \\ 1 & 0 \end{pmatrix} = \begin{pmatrix} -\sin s & \alpha \cos s \\ \cos s & \alpha \sin s \end{pmatrix}$$

y además

$$\begin{pmatrix} 0 & \alpha \\ 1 & 0 \end{pmatrix} \begin{pmatrix} \cos_\kappa t & -\kappa \sin_\kappa t \\ \sin_\kappa t & \cos_\kappa t \end{pmatrix} = \begin{pmatrix} \alpha \sin_\kappa t & \alpha \cos_\kappa t \\ \cos_\kappa t & -\kappa \sin_\kappa t \end{pmatrix},$$

$\text{Ad } (k) (\xi_\alpha) = \xi_\alpha$  si y solo si

$$-\sin s = \alpha \sin_\kappa t, \quad \cos s = \cos_\kappa t \quad \text{y} \quad \alpha \sin s = -\kappa \sin_\kappa t.$$

Ahora separamos por casos.

Si  $\kappa = 0$  y  $\alpha = 0$ , entonces  $\cos s = 1$  y luego

$$k = \begin{pmatrix} R_0(t) & 0_2 \\ 0_2 & I_2 \end{pmatrix}.$$

Si  $\kappa = 1$  y  $\alpha = \pm 1$ , entonces  $\cos s = \cos t$  y  $\alpha \sin s = -\sin t$ . Así,

$$k = \begin{pmatrix} R_1(-\alpha s) & 0_2 \\ 0_2 & R_1(s) \end{pmatrix}.$$

Sea ahora  $\kappa \neq \alpha^2$ . Si  $\kappa = -1$ , tenemos  $\cos s = 1 = \cosh t$ ; si  $\kappa = 1$  y  $\alpha \neq \pm 1$ ,  $\cos s = \cos t = \pm 1$  y si  $\kappa = 0$  con  $\alpha \neq 0$  se cumple que  $\cos s = 1$  y  $\sin s = 0$ . Así, en los casos  $\kappa = -1, 0$  obtenemos  $k = I$  y  $k = \pm I$  en el caso  $\kappa = 1$ .  $\square$

**PROPOSICIÓN 45.** *Para todo  $\ell \in \mathcal{G}_\kappa$ , la fibra de  $\mathcal{A}_\kappa^\alpha$  sobre  $\ell$  es una subvariedad sustancial de  $T_\ell \mathcal{G}_\kappa$  si y solo si  $\alpha^2 \neq \kappa$ .*

DEMOSTRACIÓN. Recordemos de la introducción que una subvariedad  $N$  de un espacio vectorial  $W$  se dice sustancial si no está contenida en ningún subespacio afín propio de  $W$ . Si además  $W$  posee un producto interno  $\langle, \rangle$  y  $p$  es un elemento de  $N$ , entonces la subvariedad es sustancial si  $\langle q - p, u \rangle = 0$  para todo  $q \in N$  solo cuando  $u = 0$ .

Por la homogeneidad, basta analizar la fibra de  $\mathcal{A}_\kappa^\alpha$  sobre  $\ell_0 \in \mathcal{G}_\kappa$ .

Supongamos primero que  $\alpha^2 \neq \kappa$ . Por la Proposición 41 sabemos que la fibra típica es  $K_\kappa/H_\kappa(\alpha)$ , que es una subvariedad sustancial de  $T_{\ell_0}\mathcal{G}_\kappa$  si y solo si  $\{dk_{\ell_0}(X_\alpha) : k \in K_\kappa\}$  no está contenido en ningún subespacio afín de  $T_{\ell_0}\mathcal{G}_\kappa$ , ya que  $\iota_\kappa^\alpha(kH_\kappa(\alpha)) = dk_{\ell_0}(X_\alpha)$ . Ahora bien, por el diagrama (3.0.5) basta analizar cuándo  $\{\text{Ad}(k)(\xi_\alpha) : k \in K_\kappa\}$  es una subvariedad sustancial de  $\mathfrak{p}_\kappa$ . En este espacio vectorial consideramos el producto interno auxiliar

$$\langle Z(X, Y), Z(U, V) \rangle = \langle X, U \rangle + \langle Y, V \rangle.$$

Sea ahora  $u \in \mathfrak{p}_\kappa$ . Por la definición en la Proposición 37 existen  $x, y, z, w$  tales que

$$u = Z \left( \left( \begin{array}{c} x \\ w \end{array} \right), \left( \begin{array}{c} z \\ y \end{array} \right) \right).$$

Basados en (2.3.2) nos convendrá denotar  $k(s, t)$  la matriz de (3.0.6). Por (3.0.7) tenemos que  $\text{Ad}(k(s, t))(\xi_\alpha) - \xi_\alpha$  es igual a

$$\begin{pmatrix} 0_2 & (a_\kappa^\alpha)^T - R_\kappa(t)(a_\kappa^\alpha)^T R_1(-s) \\ R_1(s)a_1^\alpha R_\kappa(-t) - a_1^\alpha & 0_2 \end{pmatrix}.$$

Sea ahora  $f_u : \mathbb{R}^2 \rightarrow \mathbb{R}$  la función definida por

$$f_u(s, t) = \langle \text{Ad}(k(s, t))(\xi_\alpha) - \xi_\alpha, u \rangle.$$

Supongamos que  $f_u \equiv 0$ , entonces se cumple que  $\frac{\partial f_u}{\partial s} \equiv \frac{\partial f_u}{\partial t} \equiv 0$ . Mediante un cálculo sencillo se tiene que

$$\frac{\partial f_u}{\partial s}(s, 0) = \cos s (\alpha y - x) + \sin s (-\alpha z - w) = 0,$$

$$\frac{\partial f_u}{\partial t}(s, 0) = \cos s (\kappa y - \alpha x) + \sin s (-\alpha w - \kappa z) = 0.$$

Por la independencia lineal de cos y sen nos queda el siguiente sistema de ecuaciones lineales:

$$\alpha y - x = 0, \quad \kappa y - \alpha x = 0, \quad -\alpha z - w = 0, \quad -\alpha w - \kappa z = 0,$$

que cuando  $\alpha^2 \neq \kappa$  solo posee la solución trivial para  $(x, y, z, w)$ , y por lo tanto  $u = 0$ . Así, en este caso, la subvariedad es sustancial.

Para finalizar, si  $\alpha^2 = \kappa$ , la subvariedad no es sustancial pues, llamando

$$u = Z \left( \left( \begin{pmatrix} \alpha \\ -\alpha \end{pmatrix}, \begin{pmatrix} 1 \\ 1 \end{pmatrix} \right) \right),$$

con un cálculo largo se verifica que  $f_u \equiv 0$ . □

En la siguiente proposición describimos las fibras típicas del fibrado  $\mathcal{A}_\kappa^\alpha \rightarrow \mathcal{G}_\kappa$  para los distintos valores de  $\kappa = 0, -1$  y de  $\alpha$  genérico.

Denotamos por  $\mathcal{F}_\kappa^\alpha$  la fibra típica del fibrado  $\iota_\kappa^\alpha : \mathcal{A}_\kappa^\alpha \rightarrow T\mathcal{G}_\kappa$ .

**PROPOSICIÓN 6.** *Sea  $\kappa = -1, 0$  y supongamos  $\alpha^2 \neq \kappa$ . Entonces  $\mathcal{F}_\kappa^\alpha$  es homeomorfa al cilindro  $\mathbb{R} \times S^1$ .*

**DEMOSTRACIÓN.** La fibra típica está dada por  $K_\kappa/H_\kappa(\alpha)$ , pero por la Proposición 44 el grupo  $H_\kappa(\alpha)$  es el grupo trivial, por lo que  $\mathcal{F}_\kappa^\alpha$  resulta ser  $K_\kappa$ . Luego, por (2.3.2), la fibra típica es homeomorfa a  $\mathbb{R} \times S^1$  si  $\kappa = 0, -1$ . □

**PROPOSICIÓN 7.** *Sea  $\kappa = -1, 0$  y supongamos  $\alpha^2 \neq \kappa$ , entonces el fibrado  $\mathcal{A}_\kappa^\alpha$  sobre  $\mathcal{G}_\kappa$  no es topológicamente trivial, es decir, la variedad  $\mathcal{A}_\kappa^\alpha$  no es homeomorfa a  $\mathcal{G}_\kappa \times \mathcal{F}_\kappa^\alpha$ .*

**DEMOSTRACIÓN.** Para ver que  $\mathcal{A}_\kappa^\alpha$  y  $\mathcal{G}_\kappa \times \mathcal{F}_\kappa^\alpha$  no son homeomorfos, calculamos sus grupos fundamentales, que son un invariante topológico.

Sabemos que  $G_\kappa$  actúa transitivamente en  $\mathcal{A}_\kappa^\alpha$  con subgrupo de isotropía  $H_\kappa(\alpha)$ . Pero por la Proposición 44,  $H_\kappa(\alpha)$  es trivial en el caso que consideramos,  $\alpha^2 \neq \kappa$ . Luego podemos identificar  $\mathcal{A}_\kappa^\alpha = G_\kappa$ . Por la caracterización de  $G_\kappa$  de la Proposición

25 tenemos

$$\begin{aligned}\pi_1(\mathcal{A}_0^\alpha) &= \pi_1(G_0) = \pi_1(SO(3) \times \mathbb{R}^3) = \pi_1(SO(3)) = \mathbb{Z}_2, \\ \pi_1(\mathcal{A}_{-1}^\alpha) &= \pi_1(G_{-1}) = \pi_1(O_o(1,3)) = \mathbb{Z}_2.\end{aligned}$$

Por otra parte, por la Proposición 36,  $\mathcal{G}_\kappa$  es homeomorfo a  $TS^2$  para  $\kappa = -1, 0$ . Notemos que  $TS^2 = (T(S^2 - \{S\})) \cup (T(S^2 - \{N\}))$ , donde  $S$  y  $N$  son los polos sur y norte, respectivamente. Como la esfera menos un punto es paralelizable,  $T(S^2 - \{S\})$  y  $T(S^2 - \{N\})$  resultan homeomorfos a  $\mathbb{R}^2 \times \mathbb{R}^2$ , que es simplemente conexo. Como la intersección de ambos conjuntos es arcoconexa, por el Teorema 14.14 de [4],  $TS^2$  resulta simplemente conexo. Así, por la proposición anterior,

$$\pi_1(\mathcal{G}_\kappa \times \mathcal{F}_\kappa^\alpha) = \pi_1(TS^2 \times \mathbb{R} \times S^1) = \pi_1(S^1) = \mathbb{Z}.$$

En consecuencia,  $\mathcal{A}_\kappa^\alpha$  no es homeomorfo a  $\mathcal{F}_\kappa^\alpha \times \mathcal{G}_\kappa$  si  $\alpha^2 \neq \kappa$ .  $\square$

Ahora damos una condición suficiente, en términos de campos de Jacobi, para que un vector tangente a  $\mathcal{G}_\kappa$  sea admisible (recordemos que  $T_\sigma$  es el isomorfismo definido en (2.3.7)).

PROPOSICIÓN 46. *Sea  $\sigma$  una geodésica en  $M_\kappa$  y sea  $J \in \mathcal{J}_\sigma$ . Si  $\|J(0)\| = 1$  y*

$$\frac{DJ}{ds}(0) = \alpha J(0) \times \sigma'(0),$$

*entonces  $T_\sigma(J) \in T_{[\sigma]}\mathcal{G}_\kappa$  es un vector tangente admisible para el sistema de control  $\iota_\kappa^\alpha$ .*

DEMOSTRACIÓN. Llamamos  $\ell = [\sigma]$ ,  $p = \sigma(0)$  y  $A = J(0)$ . Basta verificar que

$$T_\sigma(J) = \frac{d}{dt} \Big|_0 [s \mapsto \phi_{\ell,p,A}^\alpha(s,t)],$$

o equivalentemente, que el campo de Jacobi  $L$  a lo largo de  $\sigma$  asociado a la variación  $\phi_{\ell,p,A}^\alpha$  coincida con  $J$ . Notemos que por hipótesis  $\|A\| = 1$ , por lo que  $\phi_{\ell,p,A}^\alpha$  está bien definida.

Calculamos

$$\begin{aligned}
L(0) &= \left. \frac{d}{dt} \right|_0 \phi_{\ell,p,A}^\alpha(0,t) \\
&= \left. \frac{d}{dt} \right|_0 \gamma_{\cos(\alpha t)V_t + \text{sen}(\alpha t)B_t}(0) \\
&= \left. \frac{d}{dt} \right|_0 \gamma_A(t) \\
&= A
\end{aligned}$$

Además,

$$\begin{aligned}
\frac{DL}{ds}(0) &= \left. \frac{D}{ds} \right|_0 \left. \frac{d}{dt} \right|_0 \gamma_{\cos(\alpha t)V_t + \text{sen}(\alpha t)B_t}(s) \\
&= \left. \frac{D}{dt} \right|_0 \left. \frac{d}{ds} \right|_0 \gamma_{\cos(\alpha t)V_t + \text{sen}(\alpha t)B_t}(s) \\
&= \left. \frac{D}{dt} \right|_0 \cos(\alpha t)V_t + \text{sen}(\alpha t)B_t \\
&= \alpha B.
\end{aligned}$$

Ahora bien,  $A = J(0)$  y  $\alpha B = \alpha J(0) \times \sigma'(0)$ , que por hipótesis resulta ser  $\frac{DJ}{ds}(0)$ . Así,  $J(0) = L(0)$  y  $\frac{DJ}{ds}(0) = \frac{DL}{ds}(0)$  y en consecuencia  $L = J$  por (2.2.2).  $\square$

Si bien el resultado anterior es de suma utilidad a la hora de hallar curvas admisibles en nuestro sistema de control, no siempre se trabaja con campos de Jacobi ortogonales. El siguiente lema sumado a la Proposición 39 nos permiten adaptar la proposición anterior a cualquier campo de Jacobi, sea o no ortogonal (el campo  $J^N$  fue definido en la Proposición 39).

LEMA 47. *Sea  $t \mapsto \phi_t$  una variación por geodésicas de rapidez unitaria en  $M_\kappa$  y sea  $J$  el campo de Jacobi asociado a lo largo de  $\phi_0$ . Entonces*

$$\frac{DJ}{ds}(0) = \frac{DJ^N}{ds}(0).$$

DEMOSTRACIÓN. Como  $\|\phi'_t(0)\| \equiv 1$ , derivando con respecto a  $t$  tenemos que

$$(3.0.8) \quad 0 = \left. \frac{d}{dt} \right|_0 \langle \phi'_t(0), \phi'_t(0) \rangle_\kappa = 2 \left\langle \left. \frac{D}{dt} \right|_0 \phi'_t(0), \phi'_0(0) \right\rangle_\kappa.$$

Ahora calculamos

$$\begin{aligned} \frac{DJ^N}{ds}(0) &= \frac{D}{ds}\Big|_0 (J(s) - \langle J(s), \phi'_0(s) \rangle_\kappa \phi'_0(s)) \\ &= \frac{DJ}{ds}(0) - \left( \frac{d}{ds}\Big|_0 \langle J(s), \phi'_0(s) \rangle_\kappa \right) \phi'_0(0) - \langle J(0), \phi'_0(0) \rangle_\kappa \frac{D}{ds}\Big|_0 \phi'_0(s). \end{aligned}$$

El último término se anula pues  $\phi_0$  es una geodésica. Pero, por la misma razón,

$$\begin{aligned} \frac{d}{ds}\Big|_0 \langle J(s), \phi'_0(s) \rangle_\kappa &= \left\langle \frac{D}{ds}\Big|_0 \frac{d}{dt}\Big|_0 \phi_t(s), \phi'_0(0) \right\rangle_\kappa \\ &= \left\langle \frac{D}{dt}\Big|_0 \phi'_t(0), \phi'_0(0) \right\rangle_\kappa, \end{aligned}$$

que es cero por (3.0.8). Así, la identidad enunciada es válida.  $\square$

A continuación vemos que en el caso  $\kappa = 0$ ,  $\alpha = 0$  vale la recíproca de la Proposición 46. Será de utilidad para tratar el único caso donde el sistema no es controlable.

LEMA 48. Sean  $\ell = [\tau] \in \mathcal{G}_0$  y  $J \in \mathcal{J}_\tau$ . Entonces  $T_\tau J$  es admisible para el sistema de control  $l_0^0$  si y solo si  $J$  es unitario y paralelo.

DEMOSTRACIÓN. Si  $J$  es unitario y paralelo, entonces  $\|J(0)\| = 1$  y  $\frac{DJ}{ds}(0) = 0$ . Luego, como  $\alpha = 0$ , se cumplen las condiciones de la proposición anterior, por lo que  $T_\tau(J)$  resulta admisible.

Recíprocamente, supongamos que  $T_\tau(J)$  es admisible. Podemos escribir  $\tau(s) = q + sw$ , con  $w$  unitario.

Por hipótesis, existen  $p \in \ell$ , digamos  $p = \tau(s_o) = q + s_o w$ , y  $A$  unitario ortogonal a  $w$ , tales que

$$T_\tau(J) = \frac{d}{dt}\Big|_0 [s \mapsto \phi_{\ell,p,A}^0(s,t)] = \frac{d}{dt}\Big|_0 [s \mapsto \phi_{\ell,p,A}^0(s - s_o, t)].$$

Pero  $\phi_{\ell,p,A}^0(s - s_o, t) = p + tA + (s - s_o)w$ , que en  $t = 0$  coincide con  $\tau$ . Sea ahora  $\bar{J}$  el campo de Jacobi a lo largo de  $\tau$  asociado a esta variación por geodésicas unitarias, es decir,

$$\bar{J}(s) = \frac{d}{dt}\Big|_0 p + tA + (s - s_o)w = A.$$

Como  $\bar{J} \in \mathcal{J}_\tau$  y  $T_\tau$  es un isomorfismo, resulta que  $J = \bar{J} \equiv A$ , y por lo tanto es unitario y paralelo.  $\square$

PROPOSICIÓN 49. *El sistema  $\iota_0^0$  no es controlable.*

DEMOSTRACIÓN. Notemos primero que una curva suave en  $\mathcal{G}_0$ , definida en un intervalo abierto  $I$  de  $\mathbb{R}$ , es de la forma  $t \mapsto [\sigma_t]$  para cierta superficie parametrizada  $\phi : \mathbb{R} \times I \longrightarrow \mathbb{R}^3$  con  $\phi(s, t) = \sigma_t(s)$ . Esto es parte de la Proposición 3 en [14] (enunciada para el caso hiperbólico, pero válida en general).

Como para cada  $t$ ,  $s \mapsto \phi(s, t)$  es una recta en  $\mathbb{R}^3$ , existe  $v : I \longrightarrow S^2$  tal que  $\phi(s, t) = \phi(0, t) + sv(t)$ . Calculamos el campo de Jacobi  $J_t$  a lo largo de  $\sigma_t$  asociado a la variación  $\phi$  y obtenemos

$$J_t(s) = \left. \frac{d}{dr} \right|_t (\phi(0, r) + sv(r)) = \frac{d\phi}{dr}(0, t) + sv'(t).$$

Si la curva  $t \mapsto [\sigma_t]$  es admisible para el sistema  $\iota_0^0$ , por el Lema 47 y el lema anterior, se cumple que

$$v'(t) = \frac{DJ_t}{ds}(0) = \frac{DJ_t^N}{ds}(0) = 0$$

para todo  $t$ . Así,  $v$  resulta constante y por lo tanto toda curva admisible a trozos para el sistema  $\iota_0^0$  consta de rectas paralelas. En consecuencia, el sistema no es controlable.  $\square$

En la siguiente proposición enunciamos con precisión y damos detalles del Ejemplo 8 (b) de curvas admisibles en  $\mathcal{G}_\kappa$  que no son helicoidales puras. Para el caso euclídeo se obtienen a través de la parametrización reglada del **hiperboloide de una hoja**. Será útil en la demostración del resultado principal de este trabajo.

PROPOSICIÓN 50. *Sea  $r > 0$  y sea  $p = \cos_\kappa r e_0 + \text{sen}_\kappa r e_1$ . Sea  $\sigma$  la geodésica en  $M_\kappa$  con  $\sigma(0) = p$  y velocidad inicial*

$$\sigma'(0) = -\text{sen } \theta e_2 + \cos \theta e_3,$$

con  $-\frac{\pi}{2} < \theta < \frac{\pi}{2}$ . Para  $\lambda > 0$  definimos  $E_t \in G_\kappa$  dado por

$$E_t = \begin{pmatrix} 1 & 0 & 0 & 0 \\ 0 & \cos \lambda t & -\operatorname{sen} \lambda t & 0 \\ 0 & \operatorname{sen} \lambda t & \cos \lambda t & 0 \\ 0 & 0 & 0 & 1 \end{pmatrix}.$$

Sea  $\Gamma : (a, b) \rightarrow \mathcal{G}_\kappa$  la curva de geodésicas en  $M_\kappa$  definida por  $\Gamma(t) = [s \mapsto E_t \sigma(s)]$ .

Entonces, si

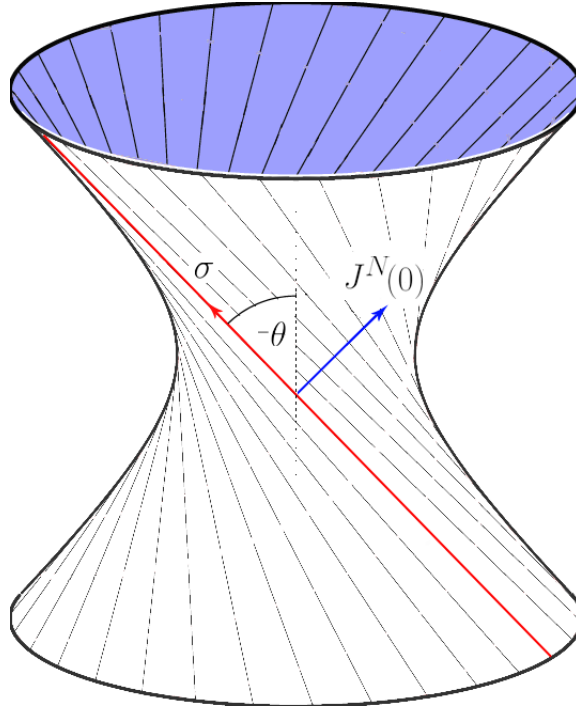
$$\lambda \operatorname{sen} \theta \operatorname{cos}_\kappa r = \alpha \quad \text{y} \quad \lambda \operatorname{cos} \theta \operatorname{sen}_\kappa r = 1,$$

la curva  $\Gamma$  es admisible.

OBSERVACIÓN 51. Si  $\kappa = 0, -1$  o  $r < \frac{\pi}{2}$ , despejando de manera conveniente, se obtiene

$$(3.0.9) \quad \theta = \arctan(\alpha \tan_\kappa r),$$

y así la proposición provee una familia a un parámetro  $r$  de curvas admisibles.



DEMOSTRACIÓN. Veamos primero que  $\Gamma'(0)$  es admisible. Consideramos el campo de Jacobi  $J$  a lo largo de  $\sigma$  asociado a la variación de geodésicas  $(s, t) \mapsto E_t \sigma(s)$ .

Por la Proposición 39,  $\Gamma'(0) = T_\sigma(J^N)$ . Ahora, por las proposiciones 46 y 47, si

$$(3.0.10) \quad \frac{DJ}{ds}(0) = \alpha J^N(0) \times \sigma'(0) \quad \text{y} \quad \|J^N(0)\| = 1,$$

entonces  $\Gamma'(0)$  es admisible.

Calculemos primero  $J^N(0)$ . Tenemos que

$$\begin{aligned} J(0) &= \left. \frac{d}{dt} \right|_0 E_t(\sigma(0)) \\ &= \left. \frac{d}{dt} \right|_0 \cos_\kappa r e_0 + \text{sen}_\kappa r (\cos(\lambda t) e_1 + \text{sen}(\lambda t) e_2) \\ &= \lambda \text{sen}_\kappa r e_2. \end{aligned}$$

Se sigue que

$$\begin{aligned} J^N(0) &= \lambda \text{sen}_\kappa r e_2 - \langle \lambda \text{sen}_\kappa r e_2, -\text{sen} \theta e_2 + \cos \theta e_3 \rangle_\kappa (-\text{sen} \theta e_2 + \cos \theta e_3) \\ &= \lambda \text{sen}_\kappa r e_2 + \lambda \text{sen}_\kappa r \text{sen} \theta (-\text{sen} \theta e_2 + \cos \theta e_3) \\ &= \lambda \text{sen}_\kappa r \cos \theta (\cos \theta e_2 + \text{sen} \theta e_3). \end{aligned}$$

Así,  $\|J^N(0)\| = 1$  si  $\lambda \text{sen}_\kappa r \cos \theta = 1$ . Calculamos

$$\begin{aligned} \left. \frac{d}{ds} \right|_0 E_t(\sigma(s)) &= E_t \sigma'(0) \\ &= -\text{sen} \theta (-\text{sen}(\lambda t) e_1 + \cos(\lambda t) e_2) + \cos \theta e_3. \end{aligned}$$

Sea ahora  $P_p$  la proyección dada en la Definición 20. Obtenemos

$$\begin{aligned} \frac{DJ}{ds}(0) &= \frac{D}{ds} \left|_0 \left. \frac{d}{dt} \right|_0 E_t(\sigma(s)) \right. \\ &= P_p \left. \frac{d}{dt} \right|_0 \left. \frac{d}{ds} \right|_0 E_t(\sigma(s)) \\ &= P_p(\lambda \text{sen} \theta e_1) \\ &= \lambda \text{sen} \theta e_1 - \kappa \langle \lambda \text{sen} \theta e_1, p \rangle_\kappa p \\ &= \lambda \text{sen} \theta e_1 - \lambda \kappa \text{sen} \theta \text{sen}_\kappa r (\cos_\kappa r e_0 + \text{sen}_\kappa r e_1) \\ &= \lambda \text{sen} \theta \cos_\kappa r (-\kappa \text{sen}_\kappa r e_0 + \cos_\kappa r e_1). \end{aligned}$$

Veamos que  $J^N(0) \times \sigma'(0) = W$ , donde

$$W = -\kappa \operatorname{sen}_\kappa r e_0 + \cos_\kappa r e_1.$$

Se verifica que  $\{J^N(0), \sigma'(0), W\}$  es un subconjunto ortonormal de  $T_p M_\kappa$ . Debemos comprobar que es una base positiva de  $T_p M_\kappa$ , es decir, que  $\{p, J^N(0), \sigma'(0), W\}$  sea positiva (ver la Definición 26), o equivalentemente, que la base  $\{p, W, J^N(0), \sigma'(0)\}$  de  $\mathbb{R}^4$  lo sea. Ahora bien, la matriz de los elementos de esta última base respecto de la base canónica es

$$\operatorname{diag} (R_\kappa(r), R_1(\theta)),$$

cuyo determinante es  $\cos_\kappa^2 r + \kappa \operatorname{sen}_\kappa^2 r = 1$ .

En consecuencia, la ecuación (3.0.10) resulta

$$\lambda \operatorname{sen} \theta \cos_\kappa r (-\kappa \operatorname{sen}_\kappa r e_0 + \cos_\kappa r e_1) = \alpha (-\kappa \operatorname{sen}_\kappa r e_0 + \cos_\kappa r e_1),$$

o de manera equivalente,

$$\lambda \operatorname{sen} \theta \cos_\kappa r = \alpha.$$

Finalmente,  $\Gamma'(0)$  es admisible si

$$\lambda \operatorname{sen} \theta \cos_\kappa r = \alpha \quad \text{y} \quad \lambda \cos \theta \operatorname{sen}_\kappa r = 1.$$

Veamos ahora que  $\Gamma'(t)$  es admisible para todo  $t$ . Calculamos

$$\left. \frac{d}{dt} \right|_{t_0} E_t \sigma(s) = \left. \frac{d}{dt} \right|_0 E_{t_0+t} \sigma(s) = \left. \frac{d}{dt} \right|_0 E_{t_0} E_t \sigma(s) = E_{t_0} \left. \frac{d}{dt} \right|_0 E_t \sigma(s).$$

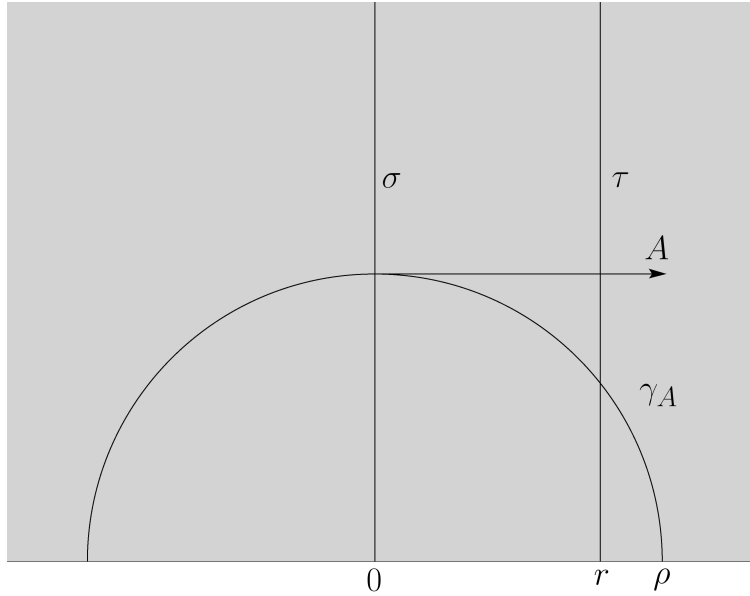
La afirmación resulta de que  $\left. \frac{d}{dt} \right|_0 [s \mapsto E_t \sigma(s)]$  es admisible y de que  $G_\kappa$  preserva  $\mathcal{A}_\alpha^\kappa$ .  $\square$

Si  $\kappa = 0, 1$ , la distancia entre las trayectorias de dos geodésicas en  $M_\kappa$  se realiza por un segmento geodésico (que se reduce a un punto si se intersecan), que resulta ortogonal a ambas. En el espacio hiperbólico existen pares de geodésicas para las cuales lo anterior no vale. Se trata de geodésicas disjuntas cuyas trayectorias están a distancia cero, las llamadas geodésicas asintóticas (nos permitimos esta noción más general que la usual, sin tomar en cuenta la orientación).

PROPOSICIÓN 52. Si para todo  $\beta \in [0, \pi]$  existen  $\ell, \ell' \in \mathcal{G}_\kappa$  que se cortan en el ángulo  $\beta$  y una curva admisible a trozos que las une, entonces el sistema  $\iota_\kappa^\alpha$  es controlable.

DEMOSTRACIÓN. Debemos mostrar que dos geodésicas arbitrarias  $\ell_1$  y  $\ell_2$  en  $\mathcal{G}_\kappa$  pueden unirse por una curva admisible a trozos. Supongamos que  $\ell_1$  no es asintótica a  $\ell_2$ . Sea  $E$  un segmento geodésico que realiza la distancia entre ellas. Supongamos que  $E(0) = p \in \ell_1$  y  $E(t_o) \in \ell_2$ . Luego  $\Gamma_{\ell_1, p, E'(0)}^\alpha$  es una curva admisible cuyo valor en  $t_o$  es una geodésica orientada  $\ell_3$  que corta a  $\ell_2$  en cierto ángulo  $\theta \in [0, \pi]$ .

Tomando  $\beta = \theta$ , existen  $\ell$  y  $\ell'$  como en la hipótesis. Por la homogeneidad podemos suponer que son  $\ell_2$  y  $\ell_3$ . Así, por hipótesis, existe una curva  $\Gamma$  admisible a trozos que une  $\ell_2$  con  $\ell_3$ . Yuxtaponiendo  $\Gamma_{\ell_1, p, E'(0)}^\alpha$  con  $\Gamma$ , obtenemos una curva admisible a trozos que une  $\ell_1$  con  $\ell_2$ .



Sean ahora  $\sigma$  y  $\tau$  dos geodésicas asintóticas en  $H^3$ , que presentamos en el modelo del semiespacio superior. Podemos suponer que están en buena posición:

$$\sigma(s) = (0, 0, e^s) \quad \text{y} \quad \tau(s) = (r, 0, e^{\pm s})$$

(salvo reparametrización que preserva la orientación). Sean  $\rho > r$ ,  $p = (0, 0, \rho) = \sigma(\log \rho)$  y  $A = (\rho, 0, 0)$ , que es un vector unitario en  $T_{\sigma(\log \rho)} H^3$  ortogonal a  $\sigma'(\log \rho)$ . Ahora, la trayectoria de  $\gamma_A$  es una semicircunferencia euclídea vertical centrada en

cero, de radio  $\rho$ . Luego, como  $\rho > r$ , la curva  $\alpha$ -helicoidal en  $\mathcal{G}_\kappa$  con rayo inicial  $[\sigma]$  y eje  $\gamma_A$ , interseca a la imagen de  $\tau$ , es decir, existe algún  $t_1$  tal que  $l = \Gamma_{[\sigma],p,A}(t_1)$  interseca a  $[\tau]$  en un ángulo  $\theta$ . Nuevamente, por homogeneidad, podemos suponer que las curvas  $\ell$  y  $\ell'$  asociadas a  $\theta$  son  $l$  y  $[\tau]$ , y análogamente al caso anterior, el sistema es controlable.  $\square$

En la siguiente proposición usaremos el modelo de la bola de Poincaré para el espacio hiperbólico, por lo que presentamos algunas notaciones.

El modelo consiste en presentar a  $H^3$  como la bola  $B^3 = \{p \in \mathbb{R}^3 : \|p\| < 1\}$ , donde las geodésicas por cero son intersecciones de rectas en  $\mathbb{R}^3$  con la bola y las restantes son arcos de circunferencia perpendiculares al borde de  $B^3$ . Además, aquí, la métrica hiperbólica es conforme a la euclídea, es decir, el ángulo entre dos geodésicas es el ángulo entre sus velocidades, vistas como vectores de  $\mathbb{R}^3$ . Dados  $p \neq q$  en el borde de la bola, denotamos por  $c(p, q)$  la geodésica orientada de  $p$  a  $q$ .

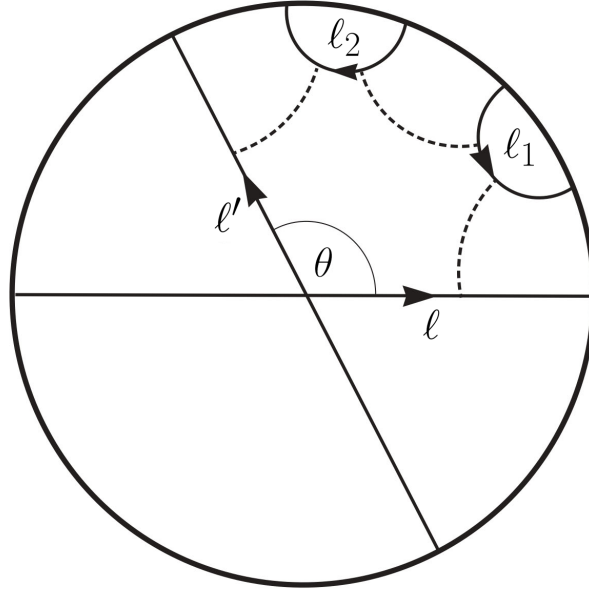
**PROPOSICIÓN 53.** *Para  $(\kappa, \alpha) = (-1, 0)$  el sistema  $\iota_\kappa^\alpha$  es controlable.*

**DEMOSTRACIÓN.** Por la Proposición 52, dado  $\theta \in [0, \pi]$  basta encontrar dos geodésicas orientadas  $\ell'$  y  $\ell$  que se intersecan con ángulo  $\theta$  y una curva admisible a trozos que las una.

Consideramos el modelo de la bola de Poincaré para el espacio hiperbólico. Nos conviene escribir  $\mathbb{R}^3 \equiv \mathbb{C} \times \mathbb{R}$ . Sean  $\ell = c((-1, 0), (1, 0))$  y  $\ell' = c(-e^{i\theta}, 0), (e^{i\theta}, 0)$ . Sean ahora

$$\ell_1 = c((e^{i2\theta/5}, 0), (e^{i\theta/5}, 0)) \quad \text{y} \quad \ell_2 = c((e^{i3\theta/5}, 0), (e^{i4\theta/5}, 0)).$$

Sea  $E$  el segmento geodésico que realiza la distancia entre  $\ell$  y  $\ell_1$ , que existe pues  $\ell$  y  $\ell_1$  no son asintóticas. El traslado paralelo a lo largo de  $E$  de la velocidad de  $\ell$  coincide con la velocidad de  $\ell_1$  (como  $\alpha = 0$ , esto da una curva  $\alpha$ -helicoidal pura). Así,  $\ell_1$  se alcanza desde  $\ell$  mediante una curva admisible en  $\mathcal{G}_{-1}$ . De manera similar, se alcanza  $\ell_2$  desde  $\ell_1$  y  $\ell'$  desde  $\ell_2$ .



□

Para finalizar, demostramos el resultado principal de este trabajo, enunciado en la introducción. Para comodidad de la lectura lo enunciamos nuevamente a continuación.

**TEOREMA 9.** *Sea  $\alpha \in \mathbb{R}$ . Para  $\kappa = -1, 0$ , las siguientes afirmaciones son equivalentes:*

- a) *El sistema de control  $(\mathcal{A}_\kappa^\alpha, \iota_\kappa^\alpha)$  es controlable.*
- b) *Se cumple que  $\alpha^2 \neq \kappa$ .*
- c) *Para cada  $\ell \in \mathcal{G}_\kappa$ , la fibra típica de  $\mathcal{A}_\kappa^\alpha$  sobre  $\ell$  es una subvariedad sustancial de  $T_\ell \mathcal{G}_\kappa$ .*
- d) *La fibra típica de  $\mathcal{A}_\kappa^\alpha$  tiene dimensión dos.*

**DEMOSTRACIÓN.** La equivalencia entre (b) y (c) se demostró en la Proposición 45.

Por la Proposición 41, la fibra típica de  $\mathcal{A}_\kappa^\alpha$  está dada por  $K_\kappa/H_\kappa(\alpha)$ . Luego la equivalencia entre (b) y (d) se deduce del Teorema 11, pues  $\dim K_\kappa/H_\kappa(\alpha) = \dim K_\kappa - \dim H_\kappa(\alpha)$  y  $\dim H_\kappa(\alpha)$  se puede calcular con la Proposición 44.

Veamos que (a) implica (b). En la Proposición 49 probamos que el sistema no es controlable cuando  $(\kappa, \alpha) = (0, 0)$ , que es el único caso donde  $\alpha^2 = \kappa$ . Luego, si el sistema es controlable, necesariamente  $\alpha^2 \neq \kappa$ .

Ahora verifiquemos que (b) implica (a). Supongamos que  $\alpha^2 \neq \kappa$ . El caso  $\kappa = -1$  y  $\alpha = 0$  fue probado en la Proposición 53. Sea ahora  $\alpha \neq 0$ .

Sea  $\beta \in [0, \pi]$ . Por la Proposición 52, basta encontrar dos líneas que se cortan en el ángulo  $\beta$  y una curva admisible a trozos que las una. Una de las líneas será la geodésica  $\sigma$  de la Proposición 50 y la curva buscada será la yuxtaposición de la curva  $\Gamma$  de la misma proposición, seguida de cierta curva helicoidal pura, o sea, de la forma 3.0.1.

Sea  $\Gamma$  la curva definida en la Proposición 50. Vimos que esta curva es admisible si se cumplen

$$\lambda \operatorname{sen} \theta \cos_\kappa r = \alpha \quad \text{y} \quad \lambda \cos \theta \operatorname{sen}_\kappa r = 1,$$

y llamemos  $\ell = \Gamma\left(\frac{\pi}{\lambda}\right)$ , el rayo del hiperboloide después de dar media vuelta, es decir, al cabo de recorrer  $t = \frac{\pi}{\lambda}$ .

Sea  $\rho(t) = \cos_\kappa(t-r)e_0 + \operatorname{sen}_\kappa(t-r)e_1$ . Notemos que como  $\rho(0) \in \ell$ , y  $\rho'(0)$  es ortogonal a  $\ell$ , podemos definir  $\Psi : [0, 2r] \rightarrow \mathcal{G}_\kappa$  como la curva  $\alpha$ -helicoidal con rayo inicial  $\ell$  y eje  $\gamma_{\rho'(0)} = \rho$ , es decir

$$\Psi(t) = \Gamma_{\ell, \rho(0), \rho'(0)}^\alpha(t).$$

Supongamos que  $\Psi(t) = [\tau_t]$ , con  $\tau_t(0) = \rho(t)$ .

Por la definición de  $\Psi$ , es inmediato que  $\Psi(0) = \ell$ , por lo que es posible yuxtaponer  $\Gamma$  con  $\Psi$ .

Tanto  $\Gamma(0)$  como  $\Psi(2r)$  son clases de geodésicas orientadas en  $M_\kappa$  que pasan por  $\rho(2r)$ , por lo que nos interesa calcular el ángulo entre sus respectivas velocidades y encontrar condiciones suficientes para que ese ángulo sea  $\beta$ . Usando la definición de

$\Gamma_{\ell, \rho(0), \rho'(0)}^\alpha$ , calculemos  $\tau'_{2r}(0)$ :

$$\begin{aligned} \left. \frac{d}{ds} \right|_0 \phi_{\ell, \rho(0), \rho'(0)}^\alpha(s, 2r) &= \left. \frac{d}{ds} \right|_0 \gamma_{\cos(2\alpha r)V_{2r} + \sin(2\alpha r)B_{2r}}(s) \\ &= \cos(2\alpha r)V_{2r} + \sin(2\alpha r)B_{2r} \\ &= \sin(\theta - 2\alpha r)e_2 + \cos(\theta - 2\alpha r)e_3. \end{aligned}$$

La última igualdad vale pues  $V_0 = \tau'_0(0)$  y  $B_0 = \rho'(0) \times \tau'_0(0)$ , y así,

$$V_0 = \sin \theta e_2 + \cos \theta e_3 \quad \text{y} \quad B_0 = -\cos \theta e_2 + \sin \theta e_3;$$

luego, como ambos son ortogonales a  $\rho'(0)$ , sus transportes paralelos a lo largo de  $\rho$  son constantes.

Como la velocidad  $\sigma'(0)$  estaba dada por  $\sin(-\theta)e_2 + \cos(-\theta)e_3$ , el ángulo comprendido entre  $\Gamma(0)$  y  $\Psi(2r)$  es, salvo múltiplos de  $2\pi$ ,

$$\theta - 2\alpha r - (-\theta) = 2\theta - 2\alpha r.$$

Por (3.0.9), podemos tomar  $\theta = \arctan(\alpha \tan_\kappa r)$ . Remplazar  $\theta$  en la expresión de arriba nos permite definir la función

$$\beta_{\alpha, \kappa}(r) = 2 \arctan(\alpha \tan_\kappa r) - 2\alpha r,$$

que, como consideramos  $\alpha \neq 0$ , cumple

$$\lim_{r \rightarrow \pm\infty} \beta_{\alpha, \kappa}(r) = \mp \text{signo}(\alpha) \infty.$$

Claramente esto implica que es suryectiva, puesto que es continua. Esto quiere decir, que dado  $\beta \in [0, \pi]$ , siempre existen  $\theta$ ,  $\lambda$  y  $r$  tal que  $\Psi$  yuxtapuesta con  $\Gamma$  es una curva admisible a trozos para el sistema  $\iota_\kappa^\alpha$  que une dos líneas en  $\mathcal{G}_\kappa$  que se cortan en el ángulo  $\beta$ .  $\square$

## Bibliografía

- [1] Agrachev, A. A. *Geometry of optimal control problems and Hamiltonian systems. Nonlinear and optimal control theory*, 1–59, Lecture Notes in Math., 1932, Springer, Berlin, 2008.
- [2] Agrachev, A. A.; Gamkrelidze, R. V. *Feedback-invariant optimal control theory and differential geometry. I. Regular extremals*. J. Dynam. Control Systems 3 (1997), no. 3, 343–389.
- [3] Beem, John K.; Low, Robert J.; Parker, Phillip E. *Spaces of geodesics: products, coverings, connectedness*. Geom. Dedicata 59 (1996), no. 1, 51–64.
- [4] García Alicia; Sanchez Cristián, *Introducción a la Topología Algebraica*. Universidad Nacional de Córdoba, 1994.
- [5] Godoy, Yamile; Harrison Michael; Salvai, Marcos, *Outer billiards on the spaces of oriented geodesics of the three dimensional space forms*, en preparación.
- [6] Godoy, Yamile; Salvai, Marcos. *The magnetic flow on the manifold of oriented geodesics of a three dimensional space form*. Osaka J. Math. 50 (2013), no. 3, 749–763.
- [7] Godoy, Yamile; Salvai, Marcos. *Global smooth geodesic foliations of the hyperbolic space*. Math. Z. 281 (2015), no. 1-2, 43–54.
- [8] Godoy, Yamile; Salvai, Marcos. *Calibrated geodesic foliations of hyperbolic space*. Proc. Amer. Math. Soc. 144 (2016), no. 1, 359–367.
- [9] Grong, Erlend. *Submersions, Hamiltonian systems, and optimal solutions to the rolling manifolds problem*. SIAM J. Control Optim. 54 (2016), no. 2, 536–566.
- [10] Hammersley, J. M. *Oxford commemoration ball*. Probability, statistics and analysis, 112–142, London Math. Soc. Lecture Note Ser., 79, Cambridge Univ. Press, Cambridge-New York, 1983.
- [11] Harvey, F. Reese. *Spinors and calibrations*. Perspectives in Mathematics, 9. Academic Press, Inc., Boston, MA, 1990.
- [12] Jurdjevic, Velimir. *Geometric control theory*. Cambridge Studies in Advanced Mathematics, 52. Cambridge University Press, Cambridge, 1997.
- [13] Salvai, Marcos. *On the geometry of the space of oriented lines of Euclidean space*. Manuscripta Math. 118 (2005), no. 2, 181–189.
- [14] Salvai, Marcos. *On the geometry of the space of oriented lines of the hyperbolic space*. Glasg. Math. J. 49 (2007), no. 2, 357–366.

- [15] Salvai, Marcos. *Global smooth fibrations of  $\mathbb{R}^3$  by oriented lines*. Bull. Lond. Math. Soc. 41 (2009), no. 1, 155–163.
- [16] Sussmann, Héctor J. *Orbits of families of vector fields and integrability of distributions*. Trans. Amer. Math. Soc. 180 (1973), 171–188.
- [17] Warner, Frank W. *Foundations of differentiable manifolds and Lie groups*. Scott, Foresman and Co., Glenview, Ill.-London, 1971.